

МИНИСТЕРСТВО ГЕОЛОГИИ СССР
ДАЛЬНЕВОСТОЧНОЕ ГЕОЛОГИЧЕСКОЕ УПРАВЛЕНИЕ

ГЕОЛОГИЧЕСКАЯ
КАРТА СССР

масштаба 1:200 000

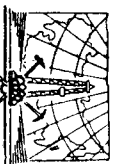
Серия Амуро-Зе́йская.

Лист N-52-XXVII

Объяснительная записка

Автор В. Ф. Зубков
Редактор С. А. Мышлев

Утверждено Научно-редакционным советом ВСГЕИ
23 декабря 1965 г., протокол № 57



О ГЛАВЛЕНИЕ

Введение	3
Стратиграфия	6
Интузивные образования	22
Тектоника	78
Геоморфология	32
Полезные ископаемые	34
Подземные воды	45
Литература	47
Приложения	50

ВВЕДЕНИЕ

Рассматриваемая территория, входящая в Зейский район Амурской области РСФСР, ограничена координатами: $52^{\circ}40' - 53^{\circ}20'$ с. ш. и $128^{\circ}00' - 129^{\circ}00'$ в. д.

Этот район сравнительно легко доступен: в его центре расположена крупный золотой присл Октябрьский, а на северо-западе небольшой поселок Ясвешенск—Свободный—Зея. Грунтовой дорогой, круглогодично пригодной для автотранспорта, присл Октябрьский связан с пос. Ураловка (92 км), расположенным на берегу р. Зеи. Помимо этой дороги, в районе имеются трунно-проходимые тропы. Реки для передвижения на лодках, за исключением небольшого отрезка р. Гары, непригодны.

Экономика района в основном предопределена наличием эксплуатируемых россыпей золота в бассейне р. Бол. Джелтулака. Население сосредоточено главным образом на прислке Октябрьском (около 9 тыс. чел) и занято на золотодобыче, в подсобных хозяйствах, общественных бытовых учреждениях и предприятиях. В пос. Ясном живет около 50 семей. Свободной рабочей скны в районе практически нет.

Рельеф района преимущественно равнинный. Это полого увалистая местность (с абсолютными отметками 300—400 м), на фоне которой местами возвышаются группы останцовых сопок с абсолютными высотами 500—900 м. В долинах, на пологих водоразделах и их склонах широко распространены кончарниковые мари (местное название болот).

Реки района частично принадлежат Зеискому бассейну (Калахта, Елна и др.), частично — Селемджинскому (Джелтулак, Гарь, Инкан). Селемджинские реки, сильно меандрируя, спокойно текут в широких заболоченных долинах, изобилующих озерами-старицами, перемычками собственные отложения. Реки Зеиского бассейна обладают более быстрым течением и их эрозионная деятельность гораздо интенсивнее. Многие мелкие водотоки, не имея четко выраженного русла, теряются среди кочек, зарослей кустарника и хвои. Климат района континентальный с продолжительной холодной зимой (морозы до 35°) и коротким жарким летом, когда температура поднимается до плюс $25-30^{\circ}$. Среднегодовая температура -5° . Оттепень наступает в конце марта, но снежный покров сходит к середине мая. Первые заморозки наступают в середине сентября. К началу октября замерзают мари и реки. В это же время выпадает первый снег. В октябре стоит обычно ясная, морозная погода. В районе выпадает в среднем 600 мм осадков в год. Из 66—76 дней ливьих дней большая часть приходится на август и начало сентября. Снежный покров незначителен — $0,4-0,6$ м, иногда $1-1,5$ м.

Широко распространена в районе многолетняя мерзлота. Глубина ледяного оттаивания грунта на солнечных склонах и слабо залесенных водоразделах составляет 3—5 м, а в прохладных местах 0,5—3 м.

С недлагоприятными климатическими условиями, очевидно, связаны малочисленность и видовое однотипное разнообразие фауны и флоры. Древесная растительность представлена лиственницей и белой береской, изредка мелким дубником и маньчжурской береской. Заготовки строевого леса и дров производятся в 15—25 км от поселков. Большинство долин рек изобилует хорошей луговой

Редактор Н. Г. Державина. Технический редактор В. В. Романова.

Корректор А. А. Сивакова

Подписано к печати 3/II 1972 г. Формат 60×90/16. Печ. л. 3,75. Уч.-изд. л. 6,3.
Тираж 100 экз.

Издательство «Недра»
Ленкартрафабрика ВАГТ

растительностью. Такие луга частично используются в качестве сенокосных угодий. Для развития земледелия район неблагоприятен из-за сильной заболоченности. Для удовлетворения местных нужд успешно выращиваются лишь различные овощи.

Обнаженность горных пород в районе плохая и крайне неблагоприятная для геологических исследований. Наличие довольно мощного делювиального чехла, кор выветривания, заболоченность и зарастание затрудняют геологические наблюдения. Выходы коренных пород чаще всего встречаются в местах останцового мелкосопочника. Геологические исследования в подобных районах нуждаются в значительных объемах горных работ.

Маршруты А. Ф. Мидлендорфа (1844), Н. Г. Ансова и Ф. Б. Шмилда (1860), сообщивших первые сведения о геологических и физико-географических особенностях Приамурия, не затронули описываемой нами местности. Сведения по геологии территории, пограничной с исследованным районом, содержатся в работах Л. Ф. Балевича (1894), Д. В. Иванова (1896), Э. Э. Альтера (1912), совершивших в разное время маршруты по р. Зее. Ими впервые установлены юрские угленосные отложения с отпечатками *Asteropteryx whibei*.

Исследования, связанные с «поисками минерального топлива» произошли в 1909 г. по рекам Зее, Депу и Умлекану С. Ф. Малывкиным. Продолжились в 1909 г. по рекам Зее, Депу и Умлекану С. Ф. Малывкиным. Продолжаются в верхах разреза юрских отложений. В целом пластки угля отмечаются ими о возможностях открытия в исследованной местности более или менее серьезного угольного дела решается в отрицательную сторону», однако не исключена возможность «... существования мелких предприятий с ограниченными размерами добычи».

С 1934 г. геологические исследования в Зейско-Депском междууречье активно велись различными организациями в двух направлениях: в целях поисков золота и угленосных площадей. С 1934 г. по 1941 г. в районе П. А. Сушковым, А. С. Куприенко и др. (трест «Амурзолото») открыты промышленные россыпи золота, наиболее богатые в верховых р. Бол. Джигулака—Октябрьский рудный узел. На его базе в 1940 г. было организовано крутое Октябрьское приставное управление, эксплуатирующее россыпи до настоящего времени. Для оценки общих перспектив золотоносности и поисков месторождений. Для склонов горных полезных ископаемых геологические исследования района Октябрьского рудного узла и прилегающих территорий производились в 1939—1952 гг. В. А. Федорцевым (трест «Золоторазведка»), А. З. Лазаревым и М. В. Пиотровским (НПГРЗолото), В. Г. Дитмаром (ВСЕГЕИ), Б. М. Штемпелем, К. К. Прудниковым и А. И. Юдиным, И. К. Акузовом, Л. М. Сапиной* (Палеогеологопроектирование). В последующие годы в районе производились поиски россыпного и рудного золота в основном схемами треста «Амурзолото». При этом существенных успехов достичь не было.

Основные результаты работ первенственных выездов исследователей сводятся к следующему. В. А. Федорцевым (1940ф) все ослонные образования прииска Октябрьского (контактово-метаморфизованные и неокрестности) отнесены к палеозою (силур и девон). В исследованных метаморфических породах (представляющие собой претерпевшие метаморфизм) отмечены палеозойские находки. Джеутулака впервые найдена фауна среднего девона, изученная Н. В. Литвинович и М. И. Шулгой-Нестренко. В верховых р. Гаринской отмечены архейские гнейсы и нерасщепленные юрско-меловые отложения. Все развитые в районе граници и гранодиориты считаются верхнепалеозойскими. Источником коренного золота, по данным В. А. Федорцева, являются мелкие карбонатные жилы в зонах тектонических нарушений, а генетически золотоносность связывается с небольшими интрузиями мезозойских диоритов. Это

* Специальной комиссией при ДВГУ геологические карты всех перенесенных исследователей (исключая карту Л. М. Сапиной) признаны отвечающими кондициям масштаба 1 : 500 000.

послужило основанием для постановки здесь более широких исследований, проведенных в 1940 г. В. Г. Дитмаром и В. Я. Прозоровым. Ими были составлены геологическая карта для территории в 2000 км² в бассейнах рек Гарин и Мамына и подсчитаны запасы железных руд Партизанского месторождения по категориям C₁ и C₂ в количестве 24 848 000 т. Все осадочные отложения разделены на пять толщ, предположительно отнесенных соответственно к нижнему—среднему кембрию, верхнему кембрию, силуру и девону. Фауна не обнаружена. Ревизионными работами ДВГУ в 1941 г. на том же месторождении установлено, что запасы по ряду причин были сильно завышены и составляют не более 0,5—1 млн. т (Тверломед, 1941ф).

К. Ф. Прудниковым и А. И. Юдиным, проводившими в 1948—1949 гг. маршрутные геолого-геоморфологические исследования, даны оправдательные перспективы алмазоносности бассейна р. Гарин. К этому же времени относятся региональные исследования А. З. Лазарева и М. В. Пиотровского по теме «Перспективы выявления россыпных месторождений золота Зея-Буринского амфитеатра». Авторы на основании собственных наблюдений и данных предыдущих исследований составили сводные геологические, геоморфологические карты и карты золотоносности для трапеции N-52-В и Г. Ими изучены типы россыпей и в ряде случаев установлены их коренные источники.

Л. М. Сапиной

впервые для района была детально разработана стратиграфия верхнеюрско-нижненемировых отложений, не потерявшая своего значения до настоящего времени. Составленная ею в 1952 г. геологическая карта

использована для небольшой западной части листа.

Вопросы стратиграфии имагматизма, положенные в основу публикуемых материалов, разработаны в основном путем при геологическом картировании масштабов 1 : 200 000 и 1 : 50 000, проведенным в 1960—1963 гг.

В. Ф. Зубковым

и А. А. Майбородой, Е. И. Бондаренко и В. П. Паном.

В. Ф. Зубковым

в 1960—1961 гг. составлены геологические карты м-басейна масштаба 1 : 200 000 для северо-западной и юго-восточной частей листа N-52-XXVII.

По ключу Вастькину

впервые обнаружена фауна триаса, а в бассейнах Инканы и Гари установлен фаунистический силур и средний девон (ольвийская свита). А. А. Майбородой в 1962 г. закартирована юго-западная часть того же листа и составлен разрез силура с дополнительными схемами фауны. Геологическое картирование в масштабе 1 : 50 000 производилось в 1960—1963 гг. в северо-западной части района (Н. П. Паном) и в окрестностях прииска Октябрьского (Е. И. Бондаренко и В. П. Паном).

Для составления карты полезных ископаемых использованы материалы

переиленных выше исследователей и даные работ М. Л. Кошица, Павла А. Сушкинова, М. Я. Чудинова, В. Н. Родинова и др., проведенных в пределах Октябрьского рудного узла и на прилегающих территориях в 1945—1961 гг.

В 1944—1945 гг. прииск Октябрьский посетил Ю. А. Билибин, давший ряд рекомендаций по направлению поисково-разведочных работ на рудное и россыпное золото. После его посещения работы на рудное золото проводились планомерно и в значительных объемах, но положительных результатов не дали.

В 1953 г. территория листа была покрыта аэромагнитной съемкой в масштабах 1 : 200 000 (Западный геофизический трест) и 1 : 25 000 (Северная экспедиция), в результате которой обнаружено несколько магнитных аномалий, обусловленных наличием железорудных тел и интузий основного состава (Яконенко, 1959ф; Игнатьев и др., 1959ф). Эти материалы были широко использованы при составлении публикуемой карты. Для всей этой территории использованы аэрофотоснимки масштабов 1 : 33 000 и 1 : 50 000 (заняты 1959 г.), а для района прииска Октябрьского — масштаба 1 : 15 000 (заняты 1960 г.). Качество снимков низкое.

В процессе картирования имагматизма были учтены материалы геологического профиля и карта снимки масштаба 1 : 15 000

ных работ, проведенных Е. Е. Краснинской, Л. М. Саляной, М. В. Сухиным, Ю. А. Мамонтовым, В. В. Шихановым и другими в 1952—1962 гг. на сопредельных территориях

СТРАТИГРАФИЯ

В геологическом строении района участвуют протерозойские, палеозойские, мезозойские и кайнозойские образования. Нижний протерозой распространяется на небольшой площади и представлен различными гнейсами и отчасти кварцитами. В центральной части района внутри гранитов имеются небольшие блоки кристаллических сланцев и ороговиковых пород, условно относимых к сино-кембрию. Палеозойские образования (сибирь-окунинская свита и средний девон — имахинская и ольдайская свиты) распространены в юго-восточной части территории листа. Мезозой представлен морскими отложениями верхнего триаса, верхней юры, а также континентальными осадочными и вулканогенными образованиями верхней юры и нижнего мела. Широким распространением пользуются плиоценовые озерно-речные и разнообразные по генезису четвертичные отложения.

Нижний протерозой (Pt_1)

Древнейшими образованиями района считаются тонколистчатые биотитовые, гранат-биотитовые гнейсы, иногда интевированные гранитом, а также роговообманиковые, биотит-рогообманиковые, роговообманико-биотитовые, двуслюдянные гнейсы, кварциты и кварцитовидные сланцы. Эти породы составляют небольшой (200—250 км²) блок, занимающий водораздельное пространство рек 2-ой и 3-ей Гары и частично бассейн ручья Щурейного. Гнейсы состоят из калиевого ираннапалеозойского сланца и раннепалеозойскими гранитами. Из-за очень плохой обнаженности территории только с помощью горных выработок удалось составить следующий схематический разрез толщи гнейсов.*

1. Гнейсы биотит-рогообманиковые с маломощными прослоями

рогообманиковых, биотитовых и гранат-биотитовых гнейсов 200 м

2. Гнейсы биотитовые и гранат-биотитовые с подчиненными им

двуслюдянками, биотит-рогообманиковыми инъекционными гнейсами 650 „

3. Гнейсы биотит-рогообманиковые и роговообманико-биотитовые 250 „

4. Гнейсы биотитовые, гранат-биотитовые с прослоями биотит-ро-

гообманиковых гнейсов 400 „

5. Гнейсы биотитовые с горизонтами кварцитов и кварцитовидных

сланцев 1300 „

Общая мощность толщи 2800 м.

Гнейсы представляют собой серого цвета породы, грубо- или тонколистчатые, с лепидографанобластовыми, гетеробластовыми, порфиробластовыми структурами. Породообразующие минералы в гнейсах представлены плагиоклазами (25—40%), калиевыми полевыми шпатами (15—25%), кварцем (30—35%), биотитом (3—15%), роговообмаником (0—5%), иногда эпилломом (до 20%) и сфеном (3—10%). Количественные соотношения темновальных минералов в гнейсах различны. Вообще же преобладают биотитовые гнейсы. В двуслюдянках помимо биотита присутствует до 5—7% мусcovита. Карагиты и кварцитовидные сланцы представляют собой массивные или сланцеватые породы, состоящие из кварца (до 90—95%), биотита и мусcovита (5—10%).

По минеральным ассоциациям описанные гнейсы следует отнести к породам глубоких зон регионального метаморфизма — к амфиболитовой фации. Подобные гнейсы широко развиты в хребтах Тукурингра и Становой, причем по петрографическому составу гнейсы верховьев р. Гары сопоставимы

с усть-ильинской серией и, в частности, с той частью разреза Тукурингры, которая соответствует арбинской и в меньшей мере мотовинской свитам (Федоровский, 1961).

Согласно решению Межведомственного совещания по разработке унифицированных стратиграфических схем для Дальнего Востока, состоявшегося в Хабаровске в 1956 г., комплекс гнейсов Тукурингры и Станового хребта отнесен к нижнему протерозою. В нашем распоряжении для установления возраста гнейсов, обнаруженных на территории листа N-52-XXVII, никаких других данных, кроме их сходства с гнейсами хребта Тукуринга, нет, в связи с чем этот возраст нужно признать в известной мере условным.

Верхний протерозой (синийский комплекс — нижний отдел кембрийской системы (?) (Pt_3 — Сп1 ?))

В центральной части территории среди гранитов встречаются отдельные блоки kontaktово-метаморфизованных пород. К настоящему времени осталось их корневые части, тяготеющие обычно к наиболее воззвышенным участкам современного рельефа. Блоки эти сложены переслаивающимися между собой кварцево-слюдянками, кварц-силиманит-слюдистыми сланцами, мраморизованными известняками, кварцитами, ороговикованными песчаниками и алевролитами. Местами в той или иной степени они интегрированы гранитами. Составить достаточно ясный разрез толши не представилось возможным, так как она сильно контактируя метаморфизована.

В районе приска Октябрьского установлено, что мраморизованные известники мощностью до 100—150 м залегают в низах терригенных образований, имеющих мощность до 700—750 м. Последние полностью или частично перекристаллизованы и облачены полосчатыми и сланцеватыми текстурами, гранобластовыми, реже пластомитовыми и блastoалевритовыми структурами. В составе этих пород в различных количествах присутствуют кварц, олигоклаз, калиевые полевые шпаты, биотит, мусcovит, силиманит, андалузит, роговая обманка, кордиерит (реликты) и продукты их вторичных изменений. Общая мощность этих отложений около 900 м.

Бассейне р. 2-ой Гары распространены кварц-эпилот-хлоритовые и кварц-серпентитовые сланцы, слагающие небольшой текtonический блок, частично перекрытый юрскими конгломератами. Кварц-эпилот-хлоритовые сланцы являются преобладающими и представляют собой метаморфизованные до стадии зеленых сланцев вулканогенные породы среднего или основного состава. Впервые они были описаны К. Ф. Грудниковым и А. И. Коидним (1950). Как протерозойские зеленые сланцы и рассланцованные эффузивы, Намы первоначально зеленокаменные породы рассматривались в качестве миллинистированной измененной интрузии габброидов (Зубков, 1961).

Нынешнее представление не подтверждилось (Пан и др., 1963).

Кварц-эпилот-хлоритовые сланцы — это светло-зеленые полосчатые или листчатого агрегата кварца, хлорита, минералов эпилот-диоптизитовой группы (обычно в виде землистых масс) и иногда альбита. Сланцы сопутствуют туфогенным породам, обладающим тонко- или грубообломочным составом. Они имеют брекчевидное, полосчатое-сланцеватое сложение и состоят из остроугольных обломков альбитизированных плагиоклазов и пироксена, спечентированных минералами эпилот-диоптизитовой группы в смеси с хлоритом, кварцем и гидроокислами железа. Среди зеленокаменных пород в низах разреза присутствуют тонкористалические кварц-хлорит-серпентитовые сланцы с турмалином, являющиеся метаморфизованными алевролитами.

Возраст описанных пород несомненно досибирский. Об этом свидетельствует нахождение их в виле ксенолитов. Среди зеленокаменных пород на размытой поверхности которых залегают отложения силура и девона, о чём будет сказано ниже. Следует иметь в виду, что в Зея-Селемджинском междууречье и некоторых других соседних районах известны южные терригено-карбонатные отложения синийского и нижнекембрийского возраста (Музылев, 1962).

Сухин, 1960 и др.). В западной части хребта Джаглы в отложениях предположительно сино-кембрийского возраста (Красный, Кириков и др., 1960) присутствуют зеленокаменные породы и кварцево-серидитовые сланцы, сходные с развитыми в бассейне р. 2-ой Гари. Увязать и сопоставить описанные выше породы с конкретными частями разреза сино-кембрийских отложений не представляется возможным, однако нет особых сомнений в том, что они могут принадлежать нерасщепленным отложениям сининского комплекса нижнего кембрия, как это изображено на публикуемой геологической карте.

СИЛУРИЙСКАЯ СИСТЕМА

Омутнинская свита. На юго-востоке, в бассейнах рек Гари, Бол. Джеттулака и Инканы, обнажены породы, литологически по степени метаморфизма резко отличные от вышеописанных образований. Выходы этих пород, в большинстве ограниченные от окружавших гранитов тектонического направления. В. Г. Дитчнишкроу (1941ф) они были обозначены в Джеттулакскую толщу и отнесены к маром (1941ф) они были обозначены в Джеттулакскую толщу и отнесены к силуре, хотя органических остатков в них тогда не обнаружили. Сейчас этот возраст удалось подтвердить фаунистически (Майборода, 1963ф) и составить толщу пород омутнинской свиты. Эта свита впервые выделена и описана в бассейне Верхнего Амура (Сокорход, 1941), где она широко распространена и к настоящему времени достаточно полно изучена. В описываемом районе она имеет склонный фациальный характер и тождественный по видовому составу комплекс фауны. Сложена свита терригенных выделена и гравелитами, песчаниками и алевролитами, иногда с прослоями ракушечников. В строении омутнинской свиты наблюдаются определенная закономерность: нижние части ее сложены грубокластическими породами, а верхние — тонкокластическими, что позволяет выделять две подсвиты — нижнеомутнинскую и верхнеомутнинскую.

Следует отметить, что в отличие от омутнинской свиты Верхнего Приамура, сибирьского района представлена пестроцветными породами — зелеными, кремовыми, сиреневыми, белыми и черными алевролитами, охристыми песчаниками. Это свидетельствует о своеобразных, отличающихся от Верхнего Амура, условиях осадконакопления, в связи с чем возникает сомнение, насколько правильно применение к этим отложениям названия «сумутнинская свита».

Нижняя подсвита (*Som₁*) залегает на размытой поверхности гравийных по левобережью р. Инканы. Здесь канавой (№ 128) был вскрыт неуплотненный контакт гранодиоритов, на которых под углом 18° залегают щебнистые и неравномернозернистые (неотсортированные) гравелиты, состоящие из продуктов разрушения гранитов (обломков кварца и алевролитов), видимо, не подвергшихся значительному переносу.

Подсвита повсеместно сложена гравелитами и кварцитовидными песчаниками. В ее основании залегает, как уже указывалось, базальтовый горизонт (10–15 м), крупноблочного гравелита, иногда переходящих в мелкогалечниковые конгломераты. Выше по разрезу они смениются мелко-, среднеблокомочными гравелитами с несколько лучше отсортированным и окатанным обломочным материалом. В разных частях разреза гравелиты содержат редкие прослои (до 10–30 м) сливных кварцитовидных песчаников и пестроцветных алевролитов. Мощность подсвиты 400–500 м.

Гравелиты, состоящие из продуктов разрушения подстилающих их гравелитами, представляют собой массивные или слабослоистые породы серого, розового, серого цвета. Они обладают губоподобной отдельностью, псефито-вой и бластопсифитовой структурой. Обломочный материал обычно плохо отсортирован и имеет угловатые формы. Его состав: кварц (70–80%), калиевый полевой шпат (10–25%), альбит (до 2%), редкие обломки кислых эф-фузивов и зерна пирокона, апатита и сфена. Средний размер обломков 3–6 мм (до 1–2 см в грубозернистых разностях). Цемент поровый, кварцево-серидитовый. Кварцитовидные песчаники — крепкие сливные породы со структурой, приближающейся к сотовой, гранобластовой. В конгломератах

гальки кварца находятся в линзовистом материале из кварца и полевых шпатов.

Верхняя подсвита (*Som₂*) обнажается обычно в ядрах синклинальей и слагается полимиктовыми и аркозовыми песчаниками, пестроцветными алевролитами, в меньшей мере гравелитами и кварцитовидными песчаниками. Схематические разрезы подсвиты с применением горных выработок изучены в бассейнах Гари, Бол. Джеттулака и Инканы.

На правобережье р. Гари выше гравелитов нижнеомутнинской подсвиты залегают:

1. Песчаники полимиктовые, ржаво-бурые и зеленовато-серые с прослоями (до 20 м) темных тонкослоистых и массивных алевролитов, туфоалевролитов; в верхах фация брахиопод и трилобитов	430—450 лт
2. Кварцитовидные песчаники (переходящие в гравелиты) с остатками криноидей плохой сохранности	40—75 „
3. Ракушечники светло-серые, желтовато-бурые, гористые, с остатками криноидей	15—25 „
4. Алевролиты разных оттенков: кремовых, желтоватых, зеленоватых, белесых и др. В единичных пунктах наблюдается fauna плохой сохранности	250 „

Мощность приведенного разреза 735–800 м. Алевролиты верхней пачки тектонически контрагируют залежи с ольойской свитой. На левобережье р. Бол. Джеттулака наблюдается следующий разрез подсвиты. На гравелитах нижней подсвity залегают:

1. Песчаники полимиктовые, темно-серые, слоистые; в низах присутствуют прослои аркозовых песчаников и гравелитов, в верхах — алевролитов	700 м
2. Песчаники зеленовато-серые, полимиктовые, пересекающиеся с гравелитами и алевролитами	30 „
3. Алевролиты зеленовато-серые, слоистые	120 „

Мощность подсвиты здесь 850 м.

На правобережье р. Инканы нижние части подсвity слагают:

1. Песчаники полимиктовые, темно-серые, с пластами гравелитов и алевролитов	30 лт
2. Алевролиты зеленовато-серые, с пластами гравелитов и аркозовых песчаников	50 „
3. Песчаники аркозовые, желтовато-серые с пластами гравелитов (до 10 м) и алевролитов (до 30 м)	250 „
4. Алевролиты серо-зеленые, кремовые, черные	100 „

Общая мощность 430 м.

Полимиктовые песчаники обычно слоистые, мелко- и крупнозернистые. Состоят они из угловатых обломков кварца (50–60%), полевых шпатов (30–40%), чешуек биотита, обломков кислых эфузивов и глинистых сланцев. Состав аркозовых песчаников существенно кварц-полевошпатовый. Цемент пегматитово-глинисто-серидитовый, кварцево-серидитовый. В алевролитах, помимо обломков кварца, полевых шпатов, чешуек биотита, серидита и пелитовых частичек, наблюдается иногда существенная примесь туфогенного материала, в различной степени замещенного эпилит-хлоритовым агрегатом. Ракушечники имеют радикуловую органогенную структуру и состоят из халицелона, образующего псевдоломфорозы по органическим остаткам.

На правобережье р. Гари и в бассейне р. Бол. Джеттулака в верхнеомутнинской подсвите собрана обильная фауна, среди которой Г. Р. Шипкиной определены *Ticinella rakovskii* Tschern., *Deltifris ex gr. eleuterius* Daim., *Camarotoechia tucula* S. O. var. *tucuensis* Tschern., *Eosiphrifer ex gr. pilicatellus*. Среди трилобитов З. А. Максимовой определены *Endoliatites orientalis* Z. Max. sp. nov., *Pecten* sp. и *Phacops* sp.

Перечисленные формы, по мнению палеонтологов, характерны для венлокского яруса. Этот комплекс фауны близок к фауне силура Монголии, Тувы. Учитывая, что в описываемом районе фаунистическая окантизирована лишь верхняя часть омутнинской свиты, возраст ее в целом следует считать просто сибирским, без ярусного уточнения. Напомним, что в бассейне Верхнего Амура в кварцах низов свиты обнаружена ландверская фауна (Иванов, 1963ф).

ДЕВОНИСКАЯ СИСТЕМА

Девон в районе пользуется небольшим распространением. Фаунистически доказано наличие эйфельского и живетского ярусов.

Средний отдел

Эйфельский ярус

Имачинская свита (D_2 , *int*). Отложения эйфельского яруса в описывающем районе установлены в 1961 г. (Бондаренко, Пан, 1962ф). Впервые городы этого возраста выделены под название имачинской свиты в бассейне Верхнего Амура И. В. Луничким (1950).

В виде узкой полосы (0,8—1 км) почти широтного простирания имачинская свита обнажается в верховых р. Бол. Джелтулака. Залегает она на размытой поверхности роговообманково-биотитовых гранитов.

В районе сопок Лежневая и Левая разрез свиты следующий (Бондаренко, Пан, 1962ф):

1. Базальный горизонт конгломератов, переходящих в гравелиты и кварцевые песчаники. В гравелитах фауна кораллов и криноидей	до 10 м	
2. Известняки желтовато-белые с прослойками голубовато-серых глинистых сланцев. Фауна колониальных кораллов и криноидей	80	"
3. Глинистые сланцы буровато- и голубовато-серые с прослойками алевролитов и мелкозернистых песчаников	110	"
Мощность приведенного разреза — 200 м. Общая мощность свиты составляет от 200 до 400 м (в истоках р. 2-го Джелтулака).		

Базальный горизонт фациально не выдержан: мелкогалечные континентальные песчаники через гравелиты переходят в песчаники. Горизонты же известняков и сланцев довольно устойчивы. Конгломераты состоят из хорошо окатанных гальек (до 2—3 см) кварца, гранита, алевролитов и песчаников. Гравелиты и песчаники обычно мономиктовые, кварцевого состава. Цементирующий материал этих пород (от 30 до 70%) кварцево-карбонатный, карбонатный (с серпентитом), песчанистый. Массивные или слабослоистые известняки мраморизованы.

Возраст имачинской свиты определяется ископаемой фауной.

Остатки брахиопод и криноидей, изученные Г. Р. Шишковой, представлены разнообразными формами обычно широкого возрастного диапазона: *Leptena rhomboidalis* Wilck., *Atypa ex gr. reticulatus* L. и др. Более характерны членики морских лилий *Entrochus ex gr. dentatus* Q. et al., *Cyclocoelus aff. ectinatus* Yet. и др., встречающиеся в основном в эйфельском и живетском ярусах.

Из кораллов Н. Я. Спасский определил *Barrandeophyllum perplexum* sp. nov. (блэкингтонский), *Squameofractites longiseptatus* sp. nov. (блэкингтонский), *S. bohemicus* Počta, *Cladopora* sp. (бликингтонский к *C. rectilineata* Simpson). Эти формы, по мнению Н. Я. Спасского, характеризуют либо самье верхи нижнего девона, либо основание эйфельского яруса. Помимо того, В. Н. Дубятолов определил *Pachyfavosites aff. rotundogratus* (Goldfuss), Favosites sp., Alveolites sp., Epiornisia sp. (ген. пок.), которые, по его мне-

Средний — верхний отдел

Живетский — низы франского яруса

Ольдойская свита (D_2 , *sol*). В описываемом районе отложения с фауной живетского яруса распространены в верховьях р. Инканы и на правобережье р. Гары, где они в виде небольших тектонических блоков обнажаются среди скелитомитами, глинистыми сланцами. В верховьях р. Инканы и на левобережье Бол. Джелтулака присутствуют также мраморизованные известняки. По характеру разреза и комплексу фауны эти отложения могут быть сопоставлены с ольдойской свитой Верхнего Амура. Как известно, под этим названием она впервые была выделена В. З. Скородумом (1941) и включена в ряд иных отложений. Девонские отложения представлены известняками, алевролитами, глинистыми сланцами. В верховьях р. Инканы и на левобережье Бол. Джелтулака присутствуют также мраморизованные известняки.

Нижней границей ольдойской свиты является полоса пачки, содержащей фауну песчаников, согласно залегающих на пестроцветных алевролитах имачинской свиты. Верх свиты в районе не известны (она прорвана раннектитовыми гранодиоритами и ограничивается тектоническими разрывами). В верховых р. Бол. Джелтулака установлена следующий разрез свиты (Бондаренко, Пан, 1962ф):

1. Песчаники полимиктовые, аркозовые с прослоями алевролитов и обильными остатками брахиопод, мшанок и криноидей	2—3 м.	
2. Пересяживание алевролитов и мелкозернистых песчаников; в верхах обильны остатки брахиопод, мшанок и криноидей	400 м	
3. Алевролиты темно-серые	80—100	"
4. Песчаники темно-серые с прослойками алевролитов и гравелистом кварцевых песчаников	80	"
5. Алевролиты темно-серые	180	"
6. Песчаники полимиктовые, с прослоями алевролитов	50	"
7. Глинистые сланцы, черные, филиптизированные, ортогипсовиковые, содержат редкие прослон песчаников и редкие остатки фауны	370	"
Мощность свиты в среднем 1500 м.	300—350	"

Песчаники и алевролиты иногда содержат существенную примесь туфогенного материала (особенно по р. Гаре). Последний замещается минералами эпилоп-полимитовой группы и хлорита. В пелитовом материале много глинистые сланцы — тонкоплитчаты и тонкослоисты. В пелитовом материале много сидерита. Известняки сильно мраморизованы, а присутствующая в них фауна (р. Инкан) перекристаллизована и практически не определима.

В различных местах в свите собрана многослойная фауна, среди которой Г. Р. Шишковой и Е. А. Мозалевской определена *Spiriferina tianshanica* (Stuck), *S. medialis* (Hall), *Microsyrinx myconotus* (Conrad), *M. angustus* (Hall), *M. thefordensis* Sh. et G. G. *Eurispirifer cheetham* (Kop.) и др. В пределах Монголо-Охотского пояса эти формы широко распространены в отложениях живетского — раннефранского времени. На основании этого и учитывая согласное залегание отложений пород на отложениях эйфельского яруса (имачинской свиты), их можно отнести к живетскому ярусу — низам франского яруса и сопоставлять в целом с ольдойской свитой.

Мезозойская группа

На северо-западе на водоразделе рек Гары и Дела впервые в районе установлены морские отложения триаса и юры. Триас представлена верхним отделом, который разделен на три свиты: камахтинскую, ма-

локалахтинскую и наптагиринскую. Среди юрских отложений несколько прелюбопытно выделяются усмановская и ускалинская свиты, а также хондритизированная флорой якской свита. Заканчивается разрез меловыми эфузивами среднего и кислого состава.

ТРИАСОВАЯ СИСТЕМА

Верхний отдел

Калахтинская свита (*Tz k1*). На соседней площади (лист N-52-XXI) в бассейне рек Бол. и Мал. Калахты, а также по берегам Депа, по данным В. В. Шиханова, обнажена толща полево-шпатово-кварцевых и полимиктовых песчаников, переслаивающихся с алевролитами. Эта толща, выделяемая им под названием калахтинской свиты, распространяется и в пределы описываемого района, где занимает очень небольшую (порядка 12 км²) площадь в верховых р. Мал. Калахты.

В описываемом районе низы калахтинской свиты неизвестны. Та часть свиты, которая здесь распространена (мощностью около 1000 м), сложена преимущественно песчаниками, серыми, среднезернистыми. Они массивны и полосчаты и состоят из кварца (60—80%), полевых шпатов (10—15%) и небольшого количества обломков алевролитов, кислых и средних эфуров. Обломочный материал плохо отсортирован и плохо окатан. Цемент серпентит-глинистый, иногда частично карбонатный. Нередко песчаники содержит обугленный растительный детрит. Песчаникам подчинены маломощные простые и слоистые породы со скорупчатой или линзенчатой отдельностью.

Более пачная свита изучена в пограничном с селевым Депом. Цемент здесь в различных частях ее разреза обнаружена фауна пелепидов ского возраста (Шиханов, 1964Ф).

Малокалахтинская свита (*Tz m1*).

Как и калахтинская, эта свита более широко распространена на соседней территории, а в пределах описываемого района она занимает площадь около 20 км² в верховых р. Мал. Калахты. Из-за ограниченности распространения и заболоченности района последнюю разреза этой свиты составить не удалось.

Впервые малокалахтинская свита выделена в пределах соседнего листа N-52-XXI (Шиханов, 1964Ф). Характерной особенностью этой свиты является грубокластический состав ее пород (крупно- и грубозернистые туфогенные песчаники с гравелитами, реже конгломератами и прослоями алевролитов), резко отличающиеся от мелкозернистых пород, лежащих в разрезе выше и ниже. В связи с этим почва и кровля ее проводятся соответственно по появление и исчезновению грубозернистых отложений. Одна из мощностей малокалахтинской свиты 800—900 м. Лигнотологически она однотипна и сложена в основном зеленовато-серыми песчаниками, отчасти обогащенными линзами мелкогранитных конгломератов и с редкими про-

гравелитами.

Обломочный материал песчаников, гравелитов и конгломератов состоит до 25% из эфузивных пород (фельзит-порфир, фельзит, кварцевых порфиров, реке порфиритов). Прочие обломки представлены главным образом кварцем, а также полевыми шпатами, алевролитами и кварцитами. В низах свиты несколько севернее описываемого района (в бассейне М. Калахты) найдены некоторые виды рода *Halobia* и другая фауна, характеризующая карнийский возраст отложений (Шиханов, 1964Ф). Малокалахтинская свита без видимого несогласия перекрывается наптагиринской

мелкозернистые алевролитистые песчаники узловатого, пятнистого облика.

Среди них присутствуют простой различной мощности песчаников, иногда гравелитов и конгломератов. Эта часть разреза содержит обильную фауну

свиту, которую по имени ручья Наптагра (левый приток р. Депа) можно назвать наптагиринской. Отсутствие стратиграфического несогласия между наптагиринской и малокалахтинской свитами вытекает из геологической карты, на которой отчетливо видно моноклинальное залегание всех трех вышеломленных свит триаса.

Строение наптагиринской свиты характеризуют приведенные ниже разрезы, составленные по горным выработкам в истоках М. Калахты разрез нижней части свиты следующий (План и др., 1963Ф):

1. Алевролиты и алевритистые песчаники, пятнистые	30 м
2. Песчаники полимиктовые	70 „
3. Алевролиты темно-серые, пятнистые	100 „
4. Песчаники полимиктовые	80 „
5. Песчаники алевритистые, темно-серые с фауной пелепидом	10 „
6. Песчаники полимиктовые	10 „
7. Алевролиты пятнистые	10 „
8. Алевролиты пятнистые	50 „
9. Песчаники алевритистые	40 „
10. Песчаники полимиктовые	50 „

В следней части разреза свиты в истоках р. 2-ой Гари представлены следующие отложения:

1. Песчаники алевритистые и алевролиты пятнистые	более 100 м
2. Песчаники полимиктовые	30 „
3. Алевролиты и алевритистые песчаники с фауной	120 „
4. Песчаники полимиктовые, мелкозернистые	40 „
5. Песчаники крупнозернистые и гравелиты	40 „
6. Песчаники алевритистые, пятнистые, с фауной	40 „
7. Песчаники арковые	20 „
8. Алевролиты пятнистые, с фауной	50 „
9. Песчаники полимиктовые	30 „
10. Песчаники алевритистые, алевролиты пятнистые, с фауной	более 20 „

Верхние части наптагиринской свиты наблюдались в истоках р. 1-ой Гари, где прослежены:

1. Алевритистые песчаники	более 60 м
2. Песчаники полимиктовые, среднезернистые	50 „
3. Алевролиты и алевритистые песчаники пятнистые, с фауной	180 „
4. Алевролиты темные	70 „
5. Алевролиты и алевритистые песчаники пятнистые, с фауной пелепидом	150 „

Суммарная мощность приведенных разрезов 1450 м, а полная мощность свиты достигает 1600—1700 м. Типичные для ее состава алевритистые песчаники (мелкозернистые) и алевролиты взаимопереходят друг в друга и состоят из остроугольных, плохо отсортированных обломков кварца, полевых шпатов и эфузивных пород. Для них характерна пятнистость, обусловленная неоднородным гранулометрическим составом и неравномерным структуро- пятнистым расположением линзочек и неправильной формой обособленных песчаников, алевролитового, алевролепилитового материала и обугленного растительного детрита. Для желтовато- и зеленовато-серых песчаников, гравелитов, шпатов переходящих в конгломераты, свойствен полимиктовый состав и淑пестная примесь кластического материала эфузивных пород (обычно кристаллическая окаданность). Окаданность мелкообломочного материала различна; глыбки окатаны хорошо.

Почти по всему разрезу алевритистые песчаники и алевролиты содержат остатки фауны — преимущественно пелепитод. Е. П. Брундзкая (при консультации Л. Д. Кипарисовой) установила наличие таких форм, как

Tosanectes subhimalis K. irag., *Tosanectes cf. suzuki* Kobayashi, *Palaearctites medvedini* K. irag., *Chlamys sinilis* K. irag., *Oxytoma cf. moisi* Saito, Телл и ряд других. Этот комплекс фауны (в частности первые две формы), по мнению Е. П. Брудницкой, может характеризовать верхнекарнийского яруса, как это имеет место в Приморье и Японии. Подтверждением может служить также залегание на наптагаринской свите норийских слоев с монгольской фауной (Шиханов, 1964Ф).

ЮРСКАЯ СИСТЕМА

Средний — верхний отдел

Ураловкинская свита (*J₂₋₃*? *ig*) обнажена на небольшой территории в юго-западной части района, а также за его пределами. Залегая на раннепалеозойских гранитах, она перекрывает раннеметаморфическими кристаллами. Свита представлена пресноводно-континентальными отложениями, широко распространенными в прибрежной части р. Зеи между поселками Ураловка и Усть-Деп. Описана она первоначально Л. М. Сайпиной (1952Ф), как зейская свита, а М. В. Сухим (1960) как ураловкинская свита. Последнее название является сейчас общепринятым. По данным этих исследователей, ураловкинская свита залегает на палеозойском фундаменте и перекрыта ажской свитой.

В описываемом районе ураловкинская свита представлена грубокластическими континентальными отложениями — полимиктовыми песчаниками и контгломератами. В оставании свиты на гранитах с разрывом залегают базальные конгломераты, состоящие из хорошо окатанных галек (до 5—8 см) гранитоидов, кислых эфузивов и кварца; цемент их — гранитная дресва или грубозернистые песчаники. Мощность контгломератов 80—100 м. Выветриваются зеленовато-серые полимиктовые песчаники с маломощными прослоями, возможно линзы, мелкогалечниковые конгломераты и автевролиты. Часто песчаники содержат редкие гальки и валуны. Обломочный материал в песчаниках разнозернистый, плохо окатанный. В его составе присутствуют кварц (50—60%), полевые шпаты (25—30%), порфириты, фельзиты, плагиограниты, реже песчаники. На плоскостях напластования иногда встречаются остатки растений. Характерна также для отложений косая сплошность. Облая мощность свиты около 1000 м.

Описанные породы по условиям образования (или, точнее сказать, по их литологическому составу) существенно отличаются от морских юрских известняков, известных в данном районе. Ураловкинская свита, выделенная под таким названием впервые на соседнем листе № 52-ХХХIII, неотсрестьвенно продолжается на харкериизующую территорию. По р. Зее Л. Н. Мартковой, И. Т. Бегунковым, Н. Е. Сластеновой (1955Ф) и М. В. Сухим (1960) в верхних частях свиты найдена пресноводная фауна, представленная по определению Г. Г. Маркисона Верхнеюгорскими видами: *Radix Fergusoni*, *Radix* и др.). Однако следует иметь в виду, что лишь некоторые из них являются органическими остатками и, возможно, в настоящем объеме включают разновозрастные отложения. По времени осадконакопления и положению в разрезе ураловкинская свита может быть синхронна усмановской свите. Как и последняя, она несогласно залегает на подстилающих породах и находится стратиграфически ниже. Описание, содержащееся в свитах верхней юры (Сорокин, 1964Ф), напоминает упомянутой фауну не противоречит ее средне-верхнегорскому возрасту.

Усмановская (?) свита (*J₂₋₃*? *istm?*). В бассейне ключа Васкина и

затем возрастает. В основании залегают конгломераты, содержащие от 30—55 до 300—400 м. В последнем случае конгломераты содержат прослон полимиктовых песчаников.

Строение толщи характеризует следующий разрез, изученный с помощью горных выработок на водоразделе ключа Васкина и р. 1-ой Гарин (Пан, 1964Ф):

1. Конгломераты		50	м
2. Песчаники полимиктовые, мелкозернистые		55	"
3. Алевролиты		25	"
4. Песчаники полимиктовые, массивные, среднезернистые		40	"
5. Песчаники полимиктовые, мелкозернистые		130	"
6. Алевролиты		20	"
7. Песчаники полимиктовые, мелкозернистые		130	"
8. Алевролиты		15	"
9. Песчаники полимиктовые		20	"
10. Алевролиты		80	"
11. Песчаники полимиктовые		40	"
12. Алевролиты		60	"
13. Песчаники полимиктовые		60	"
14. Алевролиты		20	"
15. Песчаники аркозовые		30	"
16. Песчаники полимиктовые		65	"
17. Песчаники аркозовые		130	"
18. Алевролиты темно-серые			

Общая мощность — 1000—1100 м. Конгломераты средние, крупнозернистые, с валунами до 0,3—0,4 м. Гальки очень хорошо окатаны и представляют зеленовато-серые полимиктовые песчаники с маломощными прослоями, возможно линзы, мелкогалечниковые конгломераты и автевролиты. Часто песчаники содержат редкие гальки и валуны. Обломочный материал в песчаниках разнозернистый, плохо окатанный. Серые полимиктовые песчаники супертипа кварца (до 40%), полевых шпатов (до 50%) и зеленых, плагиогранитов, реже песчаники. На плоскостях напластования иногда встречаются остатки растений. Характерна также для отложений косая сплошность. Облая мощность свиты около 1000 м.

Возраст описанных пород определяется следующими данными. Несколько севернее границы описываемого района нами в этих породах обнаружены отпечатки створок раковин, принадлежащих, по определению Е. П. Брудницкой, *Modiolia czeckanovskii* Lah., указывающей на Верхнеюргский (келловей — оксфордский) их возраст.

Переход к вопросу о корреляции рассматриваемых отложений с ранее известными в Амурской области стратиграфическими подразделениями, напомним, что П. П. Емельянов и Г. Т. Пелинцева (1961Ф) в Верхнеамурском прогибе выделили усмановскую свиту верхнегорского возраста, примерно такого же литологического состава и также залегающую несогласно на всех более древних образованиях. Именно с этой свитой, хотя и с некоторой условностью, можно отождествить только что описанные отложения. Однако возраст усмановской свиты в Верхнем Приморье понимается несколько шире, а именно, как средне-верхнегорский на основании содержащихся в ней остатков бат-келловейской фауны (Москаленко, Фрейдин, 1964).

Если быть последовательным, то вышележание морских отложений, изученные нами в данном районе, следует отнести к усмановской свите, которая в Верхнем Приморье в стратиграфическом разрезе находится непосредственно над усмановской. Имеющиеся фактические данные (наличие морской фауны, литологический характер отложений) не противоречат подобной стратиграфической корреляции, хотя, конечно, нельзя быть в ней полностью уверенным. Таким образом, выделение на описываемой территории как усмановской, так и усмановской свит нужно считать условным.

Верхний отдел

Ускалинская (?) свита ($J_3 usk?$). Как и в Верхнем Приамурье, в отн-
сившемся районе отложения, параллелизмические с ускалинской свитой, зани-
мают в юрском разрезе высокое стратиграфическое положение и представ-
лены, так же как и там, морскими фаунами; литологически — это песчани-
ки и алевролиты, переклаивающиеся между собой. В основании прослежи-
ваются континентальные песчаники, переклаивающиеся по простиранию горизонты пор-
фиритами и кремнистыми породами. Цемент полимиктового и аркозового

в истоках ключа у северной границы района разрез свиты следующий:

1. Песчаники с гальками гранитов, эфтузиев и кварца, по простиранию переходящие в мелко-, среднегальванические континентальные	100	м
2. Песчаники мелкозернистые, алевритистые, полимиктовые	90	"
3. Алевролиты темно-серые, тонкослоистые, содержат расти- тельный детрит	110	"
4. Песчаники аркозовые, светло-серые	60	"
5. Песчаники известковистые, рыхлые	50	"
6. Алевролиты массивные, редко тонкослоистые	390	"
7. Песчаники желтоловато-серые, аркозовые	220	"
8. Алевролиты слоистые, с растительным детритом	50	"
9. Песчаники мелкозернистые, алевритистые	70	"
Южнее, в истоках ключа Васкина, нижняя часть свиты такова:		
1. Порфиризы зеленовато-серые	140	лт
2. Песчаники аркозовые	150	"
3. Алевролиты с редкими остатками фауны пелепилод	30	"
4. Аргиллиты темно-серые	75	"
5. Алевролиты	200	"
6. Песчаники аркозовые, серые	20	"
7. Алевролиты	90	"
8. Аргиллиты	50	"
На левобережье ключа Янского вдоль его притока ручья Резервного с помощью горных выработок установлен следующий разрез свиты:		
1. Гарифиры зеленовато-серые	350	м
2. Песчаники аркозовые, желтоловато-серые	200	"
3. Алевролиты	15	"
4. Песчаники аркозовые	50	"
5. Алевролиты песчанистые	250	"
6. Песчаники аркозовые	50	"
7. Алевролиты	60	"
8. Песчаники полимиктовые	60	"
9. Алевролиты	110	"
10. Аргиллиты слоистые	50	"
11. Алевролиты	50	"
12. Песчаники полимиктовые, мелкозернистые	55	"
13. Аргиллиты слоистые	15	"
14. Песчаники полимиктовые	40	"
15. Алевролиты темные	30	"
16. Песчаники полимиктовые	50	"
Мощность свиты — 1400 л.		

Остановимся коротко на петрографической характеристике пород этой свиты. Порфиризы являются плотными зеленовато-серыми породами с гидро-полипитовой основной массой, плагиоклазами и роговой обманкой во вкрапле-ниях. Они интенсивно хлоритизированы, карбонатизированы. Вкрапле-ники часто замещены нацелом. Песчаники (часто существенно алевритистые) массивны, реже стоячие. Состоит они из плохо окатанных зерен кварца и полевых шпатов (примерно в равных количествах) с примесью обломков

эффузивов, кремнистых пород и алевролитов. Цемент сплошисто-глинистый. Алевролиты и аргиллиты — почти черные породы со шебеччатой и скользу-
ющей отдельностью. Часто содержат растительный детрит. В контакто-
растах гальки (размером 2—15 см) хорошо окатаны и представлены лейко-
кристаллическими гранитами, гранит-порфирями, кислыми эфузивами, реже пор-
фиритами и кремнистыми породами. Цемент полимиктового и аркозового

состава.

Редкие остатки пелепилод в нижней части свиты из-за плохой сохран-
ности Е. П. Брудницкой определены только до рода, как *Modiola* sp. indet.

Из соседнего района (Краснинская, 1955 ф) она переходит в пределы опи-
санного и распространяется вдоль его западной границы. Она сложена поли-
миктовыми и аркозовыми песчаниками с горизонтами алевролитов. На пра-
вобережье р. Гари в ее основании присутствуют континентальные . Залегает
алевритистическая свита согласно на ускалинскую (?) свиту. Нижняя ее граница про-
водится по подошве мощной пачки желтоловато- или буровато-серых аркозо-
вых песчаников. Верхние ее части в пределах района отсутствуют. В вер-
ховых ключах клона Ноговицкого схематический разрез свиты следующий:

1. Песчаники аркозовые, буровато-серые, средненеаэри- стые	130—200	м
2. Алевролиты с отпечатками растений с прослойями ар- козовых песчаников	300	"
3. Песчаники полимиктовые, зеленовато-серые	80	"
4. Алевролиты темно-серые	20	"
5. Песчаники полимиктовые, зеленовато-серые	200	"
6. Аргиллиты зеленовато-серые	70	"
7. Песчаники аркозовые, светло-серые	45	"
8. Песчаники полимиктовые	70	"
9. Алевролиты	80	"
10. Песчаники полимиктовые	140	"
11. Алевролиты	30	"
Мощность приведенного разреза 1150—1200 м. Литологически породы этой свиты мало отличаются от пород ускалинской и поэтому на их ха- рактеристике мы не останавливаемся. В низах свиты содержатся отпечатки растений, по определению М. М. Кошман, принадлежащих <i>Raptaella</i> cf. <i>stricta</i> Vach., <i>Coptopteris</i> cf. <i>kuteporphyloides</i> Vopg. и др.		
На соседней к западу территории Е. Л. Лебедевым (Лебедев, 1963) в якской свите установлен обширный комплекс форм, среди которых при- сутствуют <i>Raptaella diamantis</i> Sew., <i>R. stricta</i> Vach., <i>Cladophlebis alda-</i> <i>nensis</i> Vach., весьма характерных для верхнегорских отложений Буреи- ского, Верхне-Амурского и Алданского районов.		

МЕЛОВАЯ СИСТЕМА

Нижний отдел

Гаданская свита ($St_1 t_1$) обелянняет широко распространенные в Аму-
ро-Зе́йском районе эфузивы среднего состава с пачками туфогенных, ту-
фогенно-осадочных пород. Стратиграфия свиты описана в окрестностях с. Тал-

дан Забайкальской ж. д. (Москаленко, Фрейдин, 1964). В районе свита представлена порфириями, кварцевыми порфирами, реже туфо- и лаво-брекчиями. Плоскость их распространения незначительна. Несколько небольших покровов, залегающих на юрских отложениях и гранитах, установлены на водоразделе верховьев левых притоков р. Дела. Вдоль р. Б. Калакты на севере района порфиры обнажаются из-под плиоценов — нижнечетвертичных отложений.

Состав свиты однобразен. Главным образом это порфиры (в том числе кварцевые) — зеленоватые или серые с сиреневым оттенком, четкой порфировой структурой, массивной, иногда флюидальной текстурой. Количественно мелких вкрашенников значительно. Представлены они пластикаами, роговой обманкой, реже биотитом, пироксеном и кварцем (в кварцевых порфирах). Плагиоклазы, деанортитизированы, карбонатизированы. Роговые обманки образуют правильной формы кристаллы с опалитовыми камками и обычно нащупаны замещена хлоритом. Карбонатами и минералами эпилот-диопзитовой группы. Моноклинный пироксен присутствует в виде редких зерен. Основная масса с апогнатопилитовой, микролитовой, микротекститовой структурами состоит из продуктов разложения стекла и микролитов пластиказов и кварца. Туфобрекции состоят из обломков (до 2—5 см) порфиритов, кристаллов пластиказов, кварца, роговой обманки и чешуек биотита. Гуфы и туфобрекции встречаются редко и не занимают в разрезе строго определенного положения.

Видимая мощность свиты не более 150—200 м. Установить полную ее мощность трудно, так как свита подверглась значительной эрозии.

Возраст таиландской свиты считается нижнемеловым, так как залегая на верхней юрской свите, она перекрывает верхний ярус юрской турбидит-брекции молочной толщины рыхлых отложений. На верхней юрской турбидит-брекции залегают в Амуро-Зеятской депрессии толщи рыхлых отложений Верхнего мела.

Толща фельзит-порфиров, фельзитов, кварцевых порфиров, их туфов, туфобрекций (λ -Ст?) — занимает небольшие площади в бассейне Гары и Джелтулака. Залегают эфузивы на денудированной поверхности раннепалеозойских гранитов и верхнепалеозойских отложений. Пересякты они плиоценовыми и верхнепалеозойскими породами.

В составе толщи преобладают фельзиты-порфириты, фельзиты и кварцевые порфириты. Туфы, туфобрекции и лавобрекции имеют подчиненное значение, встречаясь в разных частях разреза. Мощность толщи 150—200 м. Встречаются в различных частях толщи, они по характеру и количеству вкрашенников. В общем это темно-серые (иногда до черных), зеленовато-серые, массивные или флюидальные породы. Во вкрашенниках присутствуют олигоклаз, олигоклаз-андезин, кальцитовый полевой шпат, кварц (в кварцевых порфирах), редкие чешуйки биотита. В фельзитах вкрашенники почти отсутствуют. Основная масса неоднородна и имеет фельзитовую, сферолитовую, микролитовую структуры. Литокристаллические и кристаллоакустические туфы и туфобрекции состоят из обломков (до 2—4 см) кислых эфузивов, кварца и полевых шпатов. Цемент ломков (до 2—4 см) кислых эфузивов, кварцево-полевошпатовых, кварцево-полевошпатово-сернистых. Все породы сильно эпилодизированы, хлоритизированы, серпентинизированы, окварцованны, местами орогипсованы, пиритизированы и биотитизированы. Изменениям подвержены и вкрашенники, и основная масса.

Стратиграфическое положение толщи нельзя считать окончательно установленным. В описание районе имеются данные о залегании эфузивов на Ураловкинской свите (Майборода, 1963). Прорываются эфузивы гранит-порфиритами с абсолютным возрастом 127 млн. лет, следовательно они не могут быть моложе раннего мела. С другой стороны, гальки аллювиальных эфузивов в большом количестве присутствуют практически во всех конгломератах тирада и юры. Достаточно много таких эфузивов в обломочном материале пород ураловкинской свите. Следовательно, в районе существовали и, возможно, существуют кислые эфузивы позднего палеозоя или раннего мезозоя. Из сказанного вытекает, что принятый для описанных эфузивов раннмеловой возраст недостаточно доказан.

НЕОГЕНОВАЯ — ЧЕТВЕРТИЧНАЯ СИСТЕМЫ Площадь — нижнечетвертичные отложения

Прежде чем перейти к описаннию широко распространенных в районе рыхлых пород, следует упомянуть о довольно мощных (до 20 м) корах выветривания кристаллических пород. Они сохранились на выпложенных водоразделах в бассейнах рек Елань, Бол. Джелтулака и в других местах. Развиты они преимущественно на гранитах. Коренные породы подверглись интенсивному выветриванию в дочетвертичное (третичное) время, поскольку на продуктах их разрушения залегают четвертичные отложения.

В пределах кор выветривания породы разрушены до состояния дресвы, суглинков и глины. В нижних частях породы «трухлявия» и, сохраняя вине-не облик первичной породы, например гранита, легко рассыпаются при ударе в шебенку. Близке к дневной поверхности такие «трухлявия» породы постепенно сменяются суглинками с дресвой, а еще выше чистыми глинами. Глины желтовато-буроватые, иногда красноватые, очень плотные и вязкие. Они могут использоваться для кирпичного производства.

Белогорская система ($N_2-Q_4 b_1$). На водораздельных пространствах в бассейнах рек Гары и Б. Калакты, широким облукольцом окраинствованы палеозойские магматических пород, подвергшихся ино-лески и глины. Площади их распространения выровнены, заболотены и террасированы. На различных уровнях встречаются крутые уступы высотой 5—10 м. Эти отложения, известные в районе под названием белогорской свиты, залегают горизонтально на различных городах, подвергшихся иногда довольно мощным проплескам выветривания. Гипсометрический уровень почвы свиты — 280—300 м — на юге района. Максимальный высота высота водоразделов, сложенных этими породами, достигает 380 м, хотя обычно она значительно меньше. Мощность свиты от 40 до 80—90 м.

Свита представлена разнозернистыми песками, которым покинуты гравийные, гравийно-галечные и алевропелитовые породы. Очень характерно для песков наличие в них мелких (до 2—4 см) галек молочно-белого кварца. Разрез свиты изменчив по площади и по вертикали. В общем в низах свиты преобладают грубозернистые осадки белых и белесых оттенков (известные пески и глины буроватых тонов).

В качестве примера характера наложения описываемых отложений приведем следующий небольшой разрез по р. Имакану (на севере района):

1. Пески серые, грубозернистые, неравнозернистые (фракция 1—4 мм) плохо отсортированные, с прослойками алевритов до 10 см	1,3 м
2. Пески мелкозернистые с примесью алевропелитового материала, с линзами глин	0,25 „
3. Пески крупнозернистые, существенно кварцевые	0,05 „
4. Глины, белые, вязкие	0,06 „
5. Пески серые, среднезернистые, кварцево-полевошпатовые, с линзами песчано-глинистого состава	0,3 „
6. Пески белые, мелкозернистые, кварцево-полевошпатовые	0,12 „
7. Пески среднезернистые, серые, кварцево-полевошпатовые	0,4 „

Приведенный разрез хорошо иллюстрирует обычную частую перемежающуюся пески различной зернистости с глинами и алевритами. На юге района, в бассейне р. Гары, по данным бурения (Сухин и др., 1956) строение свиты следующее (рис. 1): в низах залегают галечниковые и песчано-галечниковые отложения (с суглинками и суглинками), переходящие выше по разрезу в разнозернистые пески с гальками кварца. Пески содержат прослон глин и суглинков, которые в верхах несколько преобладают. В тяжелой фракции песков присутствуют пирокон (основной минерал), ислемит, рутил, сфен, анатаз, роговая обманка, эпилот, пурпурит, турмалин, апатит, а также единичные зерна киновари, кассiterита, шеелита, монацита и искажа золота.

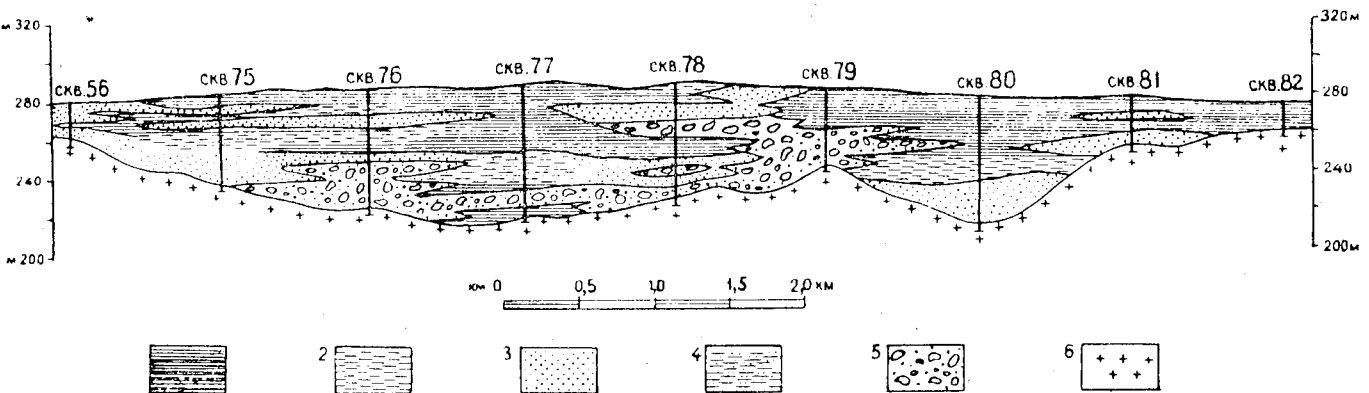


Рис. 1. Схематизированный разрез белогорской свиты
1 — глины; 2 — суглинки; 3 — пески; 4 — супеси; 5 — гравий и галечники; 6 — граниты

Породы белогорской свиты являются речными и озерно-речными образованиями. Для них типична косослонистость, плохая сортировка и изменчивость гранулометрического состава. В отложениях бассейна р. Гари, а именно, в их нижних горизонтах, установлено (Мячина, 1957ф) преобладание ныльев хвойных (семейства Pinaceae) со значительным содержанием *Tsuga* (15%) и единичным экземпляром *Taxodiaceae*, *Rodocarpus*. Содержание пыльцы *Pterosporites*, *Mycica*, *Liquidambar*, *Fagus* и др. незначительно. В более верхних горизонтах свиты большинство перекристальных форм уже не встречается. Здесь преобладает пыльца из семейства Betulaceae и различной травянистой растительности. Отсюда возраст свиты принимается плюцен-нижнечетвертичным. Южнее, в Амуро-Зейской депрессии, белогорская свита залегает на сазанковской свите верхнего миоценового (Музулов, 1962) и перекрывается средне-верхнечетвертичными отложениями.

ЧЕТВЕРТИЧНАЯ СИСТЕМА

Среднечетвертичные (?) отложения (Q_{4-7}). По некоторым подразделам на белогорской свите или коренном цоколе залегают глины, суглинки и в меньшей мере пески с гальками. Мощность описываемых отложений достигает 20—25 м. Для появления их распространения характерны мелкобуристые формы микрорельефа. Высота буров до 10—12 м. Пространство между бурами занято озерами с сильно заболоченными берегами.

Пепельно-серые и бурые вязкие глины, слагающие данную толщу, часто содержат мелкие обломки гальки кварца и кремнистых пород. Иногда они содержат существенную примесь песка, которая внутри глины образует также маломощные линзы и

прослои. Мелкозернистый песок хорошо отсортирован. Эти породы могут быть связаны преимущественно к озерным, озерно-болотным отложениям. В сплошном пильевом спектре этих отложений главную роль играет травянистая растительность из семейства Суресакия — осоковых и *Artemisia* — полыни, а из древесных — *Betulaeas* (Мячина, 1957ф). Отсутствие пыльцы, содержащейся в нижнечетвертичных осадках, свидетельствует скорее всего о среднечетвертичном или даже более позднем возрасте описанных отложений.

Средне-верхнечетвертичные отложения (Q_{5-7}). Аллювиальные отложения, связанные с формированием террас современной речной сети, представлены песками, глинями, галечниками и илами, содержащими кости млекопитающих животных. Эти осадки слагают увалистые террасы или замещают непогребенные под современным аллювием. По наиболее крутым рекам района (Гаря, Большой Джелтулак, Икан и др.) террасы имеют достаточно четко выраженный уступ высотой до 12 м. В других местах он практически отсутствует и увалистые террасы (или увалы) в виде выровненных площадок, слабо наклонных к руслу, постепенно спускаются с плато. Границы увалов более четко видны на аэрофотоснимках, нежели на местности. Однако подчас бывает трудно от-

нести аллювий к тому или иному возрасту. Литотологический состав средне-верхнечетвертичных отложений изучен в ряде разрезов, в которых с помощью гидромониторов добываются (сверху вниз):

1. Глины бурые, вязкие, жирные на ощупь	1,9 м
2. Глины темно-серые, песчанистые, с линзами мелкозернистого песка, содержащими кости млекопитающих	1,0 "
3. Галечники, слабо cementированные крупнозернистым песком	1,0 "
4. Глинистая кора выветривания со шебнем гранитов	1 "
1. Глины бурые, вязкие, иногда со шебнем	4,5 м
2. Илы темно-серые, серые, в пызах с линзами $(10 \times 0,5$ м; 40×2 м) песков, содержащих гальки и щебень. В илах остатки костей, зубов и бивней мамонта	2,5 "
3. Песчано-глинистые отложения с гальками размером 5—10 см	1,0 "
4. Глины коры выветривания	3,0 "

Разрез по р. 2-ой Гари в обобщенном виде:

1. Глины бурые, темно-коричневые, вязкие, иногда со шебнем	до 3 м
2. Илы темно-серые, серые, в пызах с линзами $(10 \times 0,5$ м; 40×2 м) песков, содержащих гальки и щебень. В илах остатки костей, зубов и бивней мамонта	1—5 "
3. Песчано-глинистые отложения с гальками размером 5—10 см	до 2 "
4. Глины коры выветривания	2 "

По правобережью р. 1-ой Гари распространены вязкие буровато-желтые глины, реже супеси, суглинки, иногда с гумусом, который придает им черный цвет. Состав средне-верхнечетвертичных отложений в общем грубообломочный в пызах (У плитка) и песчано-глинистый в верхах разреза. Эти отложения золотоносны. Мощность их 4—10 м, иногда до 20 м (р. Б. Калаха). По р. Гаря, ключам Ястому, Весеннему, Седуновскому и другим известны многочисленные находки костей млекопитающих. По ключу Весеннему найден скелет *Bison priscus*, а по ключу Седуновскому бивень и правый нижний коренной зуб *Elephas primigenius* (Лазарев, Пицровский и др., 1951ф). Обнаруженный в песках р. 2-ой Гари коренной зуб мамонта, по заключению В. Е. Гарутта (Зоологический институт АН СССР), принадлежит *Mammuthus primigenius* (Б 1-м.), и характеризует самье низы верхнего плейстоцена.

Помимо этого, описанные отложения в ряде мест содержат пыльцы, не распушущих пыльца *Juglans*, *Acer*, *Carpinus*, *Ostrya*, которые можно отнести, по мнению Л. Л. Казачиной, к климатическому оптимуму среднего плейстоцена.

Современные отложения (Q_{1v}) представлены в районе аллювиальными, озерно-аллювиальными, озерно-болотными, а также делювиальными и элювиальными-делювиальными образованиями.

Современная эрозионная деятельность рек неизначительна. Их поймы почвы везде заболочены и покрыты густым кочкарником и торфяниками. Русло-ый аллювий состоит чаще из илсто-песчаных и глинистых осадков. В местах, где долины рек сужены, делювиальный склонов, скользящий, попадает в русло и обогащает аллювий валуно-галечниковым материалом. Эрозионная деятельность рек Ельны, Б. Калахты и Инканы активнее прочих, и они местами размывают коренное ложе, образуя перекаты.

Разрез по р. 2-ой Гари представлен следующими русловыми отложениями (Прудников, Юдин, 1950Ф):

1. Растительный слой и торф	до 1 м
2. Суглинки с примесью гравия	до 2 "
3. Глины с примесью гравия	1,5—2 "
4. Глины, песок, гравий и щебень в разных соотношениях	1—1,5 "
5. Шебень, обломки коренных пород с глиной и песком	0,5—1 "

По р. 2-му Джелтухаку:

1. Почвенно-растительный слой	0,5 м
2. Пески грубозернистые, косослоистые, с прослойем (5 см) галечника	3,0 "
3. Пески грубозернистые, спементированные гидроокислами железа	0,5 "

Мощность аллювия не превышает 6—8 м.

Озерно-болотные отложения широких пойм представлены илистыми, глинистыми-кластичными осадками и торфиниками. Большая часть территории покрыта делювиальным чехлом мощностью от 0,5 до 3—4 м. Состоит делювий из обломков коренных пород, спементированных суглинками, супесями и глинями. Круглоглыбовый делювий наблюдается в местах наиболее расщепленного рельефа по склонам сопок и у их подошв. Элювиально-делювиальные отложения образуют крупноглыбовые развали — куррумы. Описанные типы отложений содержат споры и пыльцу современной растительности (*Larix*, *Betula*, *Alnus*, *Pinus* и др.).

ИНТРУЗИВНЫЕ ОБРАЗОВАНИЯ

Интрузивные породы слагают значительные территории. Резко преобладают кислые и умеренно-кислые интрузии. Основные и ультраосновные породы крупных массивов не образуют. Установлены интрузии двух возрастов — раннепалеозойские и меловые.

Раннепалеозойские (?) серпентиниты (δP_{Z_1} ?)

В бассейне р. 2-ой Гари среди породы синько-коричневые известны довольно многочисленные лайки и небольшие, удлиненные формы массивы серпентинитов. Часто от них отвечаются разной величины апофизы. Мощность отдельных тел колеблется от 1 м до 200—400 м, а протяженность 1,5—3 км. Их простирание северо-восточное до почти меридионального, падение на северо-запад, кругое до вертикального. На водоразделе рек Дутэ и Б. Аяка серпентиниты обнажены из-под песков белогорской свиты на площади около 4 км².

Серпентиниты обычно темные с зеленоватым оттенком породы кругло-кристаллического стояния. Они состоят из бесцветного в шлифе серпентина с параллельно- и перекрещенно-волокнистой структурой. Серия трещинок выпотна тальком. Бластиорифровые разности серпентинитов состоят из кристаллов бастита и пегельматовой основной массы, сложенной антигоритом, серрофитом и магнетитом. Широко проявлены в серпентинитах лиственингиты, оталькование (обычно близ разрывных нарушений). В результате обра-

зуются карбонатно-тальковые породы с реликтами серпентина. Они состоят из тонкощечущего агрегата талька с зернами карбонатов и их сположениями. Тальковые породы очень мягкие, жирные на ощупь. Окислами железа они подкапанены в буроватые тона. Присутствующий магнетит образует хорошо ограненные октаэдры.

Широко распространено окварцевание пород. Кварц выполняет многочисленные перекрещивающиеся прожилки. При выщеривании тальк выкрашивается и горячий приобретает ячеистый облик. Такие измененные серпентиниты содержат золото и касситерит (Сушкиков, 1961Ф). С серпентинитами связанны также никель-кобальтовые проявления и налиние в россыпях по р. 2-ой Гары золота, платины и осмистого ирида.

Возраст серпентинитов точно не установлен. В описываемом районе имеющимися для них являются только послойные сино-кембрийские рассланцованные в субмеридиональном направлении. В иной геологической обстановке они не встречаются. Учитывая такую тесную структурно-территориальную приуроченность серпентинитов к сино-кембрию, их возраст предположительно принят раннепалеозойским. Не исключено, что он значительно моложе, ибо известный против устья р. Дела массив ультрабазитов находится в окружении горских пород и их соотношения пока точно не установлены.

Раннепалеозойские граниты, плагиограниты, гранодиориты

Гранитоиды этого возраста в центральной части района слагают крупный, глубоко эродированный pluton. Породы сино-кембрия и раннего претерозоя сохранились в нем в виде ксенолитов различной величины. Значительная площадь plutona закрыта силурийскими и более молодыми образование, в связи с чем его выходы на дневную поверхность приобрели прихотливую форму.

В строении plutона преобладают граниты и плагиограниты (γP_{Z_1}), которые в бассейне Б. Калахты слагают его северо-восточную окраину. На юге по периферии plutона на небольшой площади распространены гранодиориты ($\gamma \delta P_{Z_1}$). Иногда кварцевые диориты. Одно время они устоянно относились к среднему палеозою (Зубков, 1962Ф; Майборода, 1963Ф), но позже по полученным данным о наличии фауны силура в перекрывающих их отложениях заставили пересмотреть этот вопрос. Не исключено, конечно, возможность наличия в раннем палеозое нескольких интрузивных фаз, но надежных доказательств пока нет.

Граниты в основе своей биотитовые, реже роговообманково-биотитовые, но во многих местах они подверглись метасоматическим изменениям и приобрели субшелушчатый (алискиновый) характер. С метасоматическими процессами обычно связана также порфироидность гранитов. Наиболее широкое распространение порфироидные граниты пользуются в центре интрузии (верховья рек Джелтухака и Б. Калахты) вблизи ксенолитов сино-кембрия. Описываемые граниты — породы крупнокристаллического сложения, сепарованные разностями красновато- до кирпично-красного цвета. Плагиограниты — породы серого цвета, чуть зеленоватые. Содержание темноцветных минералов в гранитах нестабильно: наблюдаются переходы от меланократовых пород к лейкократовым. Количество биотита колеблется от 1 до 15%. Иногда присутствует немало роговой обманки. Содержание полевых шпатов во всех породах остается постоянным (50—60%). При этом соотношение плагиоклазов и калиевых полевых шпатов различно: в гранитах последние преобладают, а в гранодиоритах и кварцевых диоритах содержание их снижается до 20—5%. Плагиограниты имеют существенно плагиоклазовый состав. Плагиоклазы обычно идиоморфны и представлены олигоклазом и кислым андезином. Калиевый полевой шпат (часто пертитовый) образует крупные пегматитовые формации кристаллы, а также совместно с кварцем слагает мелкозернистый гранобластовый мезосгазис в катаклазитически и пластически измененных породах. Часто он обладает решетчатой структурой микроклина. Содержание кварца составляет 25—35%, а в кварцевых диоритах оно сни-

жается до 5–10%. Бурый (в шлифах) биотит обычно хлоритизирован и размочален на коротких гранях. В ката克拉зированных разностях он образует кучевые скопления между кристаллами полевых шпатов.

Из аксессориев наиболее типичны циркон и рутильный минерал. Породообразующие минералы обычно в различной степени дамблены. В совокупности с бластоцристическими изменениями это существенным образом сказалось на текстурных и структурных особенностях пород. Широко распространены в них бластогранитные, гранобластовые структуры. В гранодиоритах и кварцевых гранитах, содержащих много плагиоказа, часто наблюдаются гипидоморфно-нозернистые структуры. В гранитах реликты последних сохраняются в виде пиломорфных кристаллов полевых шпатов.

Для всей интрузии характерен регионально проявленный катализ, как следствие неолинкократного проявления тектонических движений. Обычно породы массивны, а их миллионизированные разности — грубополосаты, гнейсовидны. Мощные зоны миллионизации и катаклиза пространятся вдоль северо-западного контакта плутона на стыке с триасом, по правобережью р. Б. Калахта, а также на юге вдоль рек Гари и Полуножки. Давленые гранитоиды имеют брекчийные, бластомилонитовые, структуры. Текстура миллионитов крупно- и мелкочешуйчатая, а основная ткань имеет струйчатого-полосчатое строение.

С метасоматическими изменениями связаны порфировидные фации гранитов. Порфириобласты представлены розовыми калишпатами и олигоклазом. Они имеют призматическую форму и размеры до 3 см. Из калиевых полевых шпатов в качестве порфириобласт разливается обычно решетчатый микроклин. В верховых Джелтулака широко распространены крупнозернистые граниты, густо насыщенные (до 20%) порфириобластами олигоклаза. В пользу метасоматического происхождения порфириобласт, помимо прочих фактов, свидетельствует наличие в них остатков неполностью замещенных кристаллов и самих пород. Можно также видеть, как один и тот же кристалл развивается как в граните, так и в пересекающих его кварцево-половодитовых жилках или в ксенолитах. Во многих случаях микроклинизация приводит к образованию на обширных участках розовых субшелочных гранитов, как, например, в долине р. Джелтулака.

Из жильных образований с гранитоидами связаны мелкозернистые аплитоидные граниты и пегматиты. В виде немногочистенных линз и невыдержаных по мощности жил (от 3–10 см до 1–2 м), они встречаются в различных частях интрузии.

Описанные породы слагают наиболее древнюю интрузию района. Нижняя возрастная граница ее определяется наличием в ней сернистых блоков, конгломератово-метаморфизованных отложений синекембрия. К среднему палеозою гранитоиды уже были выявлены на дневную поверхность, о чем свидетельствует залегание на них фаунистически характеризованного сикура. Его бразильные горизонты состоят из продуктов разрушения этих гранитоидов (брекчики, гравелиты). В верховых Джелтулака (Бондаренко, Пан, 1962ф). Из гранитах залягают отложения эйфельского яруса (имачинская свита). Из сказанного очевидно, что описанные гранитоиды по возрасту относятся к раннему палеозою и связаны с каледонской эпохоймагматизма. Геологическая эпоха, на которую падает оценка определений абсолютного возраста, продолженным не противоречат результаты определений абсолютного возраста, произведенных по биогриту (лаборатория ДВГУ, исп. Т. К. Ковалчук) и состоявших из 422 и 495 млн. лет.

Раннемеловые интрузии

В настоящее время установлено, что в раннемеловую эпоху магматизм в районе проявился очень интенсивно и был многофазным. К начальным стадиям относятся внедрение основных и средних магм, а к более поздним — умеренно-кислых и кислых. С первыми связано образование небольших по величине массивов габбро-диоритов. Наиболее широко распространя-

нены гранитоиды, формировавшиеся в несколько этапов. Обычны гипабиссальные интрузии разного состава, слагающие небольшие массивы, штоки и дайки.

ГАББРО, ГАББРО-ДИОРИТЫ, ДИОРИТЫ И КВАРЦЕВЫЕ ДИОРИТЫ

Породы основного и среднего состава в различных частях района слагают небольшие массивы обычно удлиненной формы — при ширине до 2 км протяженность составляет 5–6 км. Часто проявлены структурные приушенность и текстоническим разрывам, вдоль которых вмещающие породы (обычно это раннепалеозойские граниты) интенсивно катализированы, лигнитизированы. Массивы в большинстве ориентированы в северо-восточном направлении согласно с разрывными нарушениями (реки Инкан, Полночка, Калахта).

Описываемые породы представлены роговообманковыми габбро (vSc_1), габбро-диоритами (vSc_1) и диоритами (в том числе кварцевыми δSc_1), образующими постепенные взаимопереходы. Диориты в окрестностях присно-Октябрьского, в бассейне ключа Ясного иногда слагают небольшие самос有名的 тела. Габбро и габбро-диориты — это меланократовые темные породы, часто с зеленоватым оттенком. Диориты и кварцевые диориты более светлые породы, содержащие кварц и меньше роговой обманки. Все породы массивны, а в давленых разностях грубосланцеваты. При этом темнократовые породы образуют неправильной формы струйчатые скопления. Калиевые гнейсовидные, плоско-параллельные текстуры. Сложение пород неравнозернистое — обычны переходы от крупно- и среднекристаллических разностей к мелкокристаллическим. Структуры габброидов габровые и субофигуративные (при наличии лигнитизированных кристаллов плагиоклазов), а диориты — призматически-зернистые. В составе пород присутствуют зональный андезин и кислый лабрадор (40–60%), реже олигоклаз-андалузин. Зеленая, буровато-зеленая роговая обманка часто содержит пойкилитовые вростки мелких кристаллов плагиоклазов, кварца и рутилового минерала. В диоритах в перечленном количестве присутствует кварц (до 15–20% в кварцевых диоритах), неподвижный апатит и калиевые полевые шпаты. Из аксессориев наиболее типичны апатит и рутильный минерал.

Описанные интрузии прорывают раннепалеозойские граниты и отложения среднего девона (Бондаренко, Пан, 1962ф). В бассейне ключа Ясного змеевикальные породы. В районе прииска Октябрьского диориты прорываются лейкоплатоидами для небольших штоков диоритов являются верхнеюрские осадочные породы. В районе прииска Калакты диориты прорываются лейкоплатоидами гранитов. Формирование их, очевидно, связано с первыми фазами раннемелового магматизма.

ГРАНОДИОРИТЫ, ГРАНИТЫ, КВАРЦЕВЫЕ ДИОРИТЫ И ДИОРИТЫ (vSc_1)

В северо-восточной части района (бассейн р. Елны) прослеживаются довольно крупная интрузия, сложенная главным образом гранодиоритами, отчасти гранитами и диоритами. Протягивающаяся в северо-западном направлении, интрузия к востоку и северу уходит за пределы района. Граниты имеют подчиненное значение и располагаются в центре массива. Эпиконтактовые фации представлены массивными или гнейсированными кварцевыми диоритами и диоритами. На водоразделе рек Плужная и Бол. Джелтулака обнаружены два небольших массива, сложенных в основном кварцевыми диоритами. Вмещающими породами для раннемеловых гранитоидов являются осадочные и интрузивные породы палеозоя и мезозойские эфузивы. Эпиконтактальные изменения проявляются в общем в ороговиковании с пиритизацией, окварцеванием и биотитизацией вмещающих пород.

Характерная особенность описаных гранитоидов является почти всегда эллипсоидальная или округлая, а размеры колеблются от 2–5 до 30 см. Все гранитоиды — круто-или среднезернистые породы. Их цвет серый

или розоватый в пелитизированных разностях. Сложение массивное, иногда гнейсовидное. Порфировые фации встречаются редко. Структура пород глино-диоморфно-зернистая, гранитная.

Гранодиориты состоят из олигоклаз-андезина (35—60%), калиевых полевых шпатов (до 20%), кварца (20—30%), роговой обманки и биотита (в сумме 15—25%). В гранитах кварца и калиевых полевых шпатов несколько больше. В кварцевых диоритах количество калиевых полевых шпатов понижается до 10%, а в диоритах они практически отсутствуют. Зато увеличивается количество зонального андезина. Содержание кварца уменьшается соответственно до 15 и 3—5%. В энтоконтактах количество темноцветных минералов иногда возрастает до 35—40% и они субпараллельно ориентированы. Из акцессориев очень характерен сфен, образующий крупные клиновидные зерна. Кроме того, встречаются апатит и циркон. Вторичные изменения минералов несущественны и выражаются в биотитизации роговой обманки, хлоритизации, пелитизации и серпентинизации полевых шпатов.

На периферии массива вдоль юго-западного контакта кварцевые диориты и диориты имеют гнейсовидный облик, обусловленный явлениями протектоники и блестищими изменениями в результате неоднократных тектонических подвижек вдоль плоскости контакта. Системой трещин гранитоиды разбиты на грубоплитчатую матразиевидную отдельность. Для них очень характерна связанныя с интенсивным физико-химическим выветриванием «трещильность», тяготеющая к абсолютному уровню в 300—330 м ((древняя поверхность выравнивания). На этом уровне граниты превращены в дресву, а на уровне 330 м распространены чистые бурые глины, очень вязкие. Они являются конечным продуктом разрушения гранитоидов.

Меловые интрузии в районе выделяются впервые. Ранее различными исследователями они описывались в составе палеозойских комплексов. В настоещее время установлено, что они прорывают и контактируют метаморфизованные и средние эфузивы раннего мела. Их абсолютный возраст, определенный в лаборатории ДВГУ (Г. К. Ковалчук) по пяти валовым пробам, составляет 120—144 млн. лет (без учета воздушного аргона). Два определения по биотиту из бассейна р. Елины показали 110 и 114 млн. лет, что соответствует раннему мелу.

ГРАНИТ-ПОРФИРЫ И ГРАНБИОРИТ-ПОРФИРЫ (μC_1)

Небольшие гипабиссальные тела описываемых пород известны на пребережье р. Гари у южной и западной границы района. Их размеры 1—1,5×Х4—6 км. У западной границы интрузия расположена в осадочных породах верхней коры и в ее составе, помимо гранодиорит-порфиротов, отмечаются кварцевые диоритовые порфириты. В истоках р. Дугут гранодиорит-порфириты (μC_1) обнаруживаются из-под песков белогорской свиты. У южной границы района гранит-порфириты (μC_1) прорывают кислые эфузивы предположительно раннего мела. Кроме этих массивов, в окрестностях приска Октябрьского и в других местах гранит- и гранодиорит-порфириты слагают многочисленные лайки. Внешне это серые, желтовато- или розово-серые породы. Во вкраепленниках порфировой структурой и микрозернистостью основной массой. Во вкраепленниках присутствуют идиоморфные кристаллы олигоклаза, олигоклаз-андезина, кварца, биотита и роговой обманки. Их количество составляет от 10—15 до 50% объема породы. Микрограниты, иногда аплитовая основная масса состоит из олигоклаза, калиевых полевых шпатов, кварца и небольшого количества темноцветных минералов.

Вмещающие породы вокруг интрузий в разной степени ороговикованы с образованием мелкоклетчатого биотита. В ряде мест гранодиорит-порфириты прорываются гипабиссальными телами диоритовых порфиритов (Болдаренко, Ган, 1962). Абсолютный возраст массива гранит-порфиритов (у южной границы района), определенный калий-аргоновым методом без поправки на воздушный аргон, составляет 127 млн. лет (по валовой пробе).

ДИОРИТОВЫЕ И КВАРЦЕВЫЕ ДИОРИТОВЫЕ ПОРФИРЫ, МИКРОДИОРИТЫ

Эти породы ($\mu\text{C}_1\text{G}_1$) довольно широко распространены в верховье р. Инканы, в бассейне ключа Ясного, в окрестностях приска Октябрьского и некоторых других местах, где они слагают многочисленные гипабиссальные тела — небольшие массивы, штоки, штоки и лайки. Территориальное их размещение связано с наличием в районе разрывных трещин.

Помимо диоритовых порфиритов, в составе отдельных тел присутствуют равнозернистые микродиориты. Диоритовые порфириты имеют порфировую, глимеропорфировую структуру и во вкраепленниках содержат диоморфные кристаллы зонального андезина, роговой обманки и иногда приката. Породы обычно поддержаны вторичным изменением: эпилитизированы, хлоритизированы и соскоритизированы. Полноизрастическая основная масса имеет микроприматическую (до микролитовой) структуру и состоит из тех же минералов, что и вкраепленники. Местами последние отсутствуют и породы переходят в равномерноизрастные микродиориты.

Диоритовые порфириты относятся к наиболее молодым интрузиям, прорывающим почти все геологические образования района (за исключением лейкократовых гранитов).

ЛЕЙКОКРАТОВЫЕ И БИОТИТОВЫЕ ГРАНИТЫ

Небольшие массивы, штоки и лайки биотитовых, лейкократовых (аллюкитовых) гранитов (μC_1) известны в бассейнах рек Гари, Инканы, 4-ой Гари и др. В плане они имеют удлиненную в северо-восточном направлении форму. Обусловлено это, очевидно, разрывными нарушениями, которые служили путями проникновения кислой магмы в жесткие массивные породы. Прорывают граниты разнообразные по составу и возрасту породы района. Экзоконтактовые изменения (протогипокорекция и пиритизация) отчетливо проявлены в осадочных и эфузивных породах.

По вещественному составу граниты чаще являются лейкократовыми, аляскитовыми. Микролегматитовыми разностями с гранофировыми, микрографато-серые массивные породы, мягко- и среднесернистого сложения. Под микроскопом они обнаруживаются гранулитовые, гранитные, а чаще типичные для них микрографитические структуры, обусловленные закономерными спросташами микроклина и кварца. Минеральный состав их таков: калиевые полевые шпаты (35—45%), кварц (25—35%), альбитоклаз (20—35%), биотит, ортит, циркон, апатит, эпидот, серпентит, хлорит. В аляскитовых гранитах количество кварца поднимается до 40%, а в калиевых полевых шпатах до 45—50%. В биотитовых разностях олигоклазов 30—35%, а биотита 7—10%. Калиевые полевые шпаты чаще представлены речетчатым микроклинитом. Из вторичных изменений наблюдаются хлоритизация биотита, серпентинизация и эпилитизация плагиоклазов. Местами проявлены процессы микроклинизации — плагиоклазы замещаются прозрачным микроклинитом.

Абсолютный возраст гранитов, определенный по валовой пробе в лаборатории ДВГУ (исп. Т. К. Ковалчук), составляет 140 млн. лет (без учета воздушного аргона). В бассейне р. Гари лейкократовые граниты прорывают раннегловые (?) кислые эфузивы, а по пребережью р. Елины гранодиориты раннего мела.

Лайки разного возраста и состава

Разнообразные по составу магматические породы слагают многочисленные лайки и жилы, большинство которых являются наиболее молодыми интрузивными проявлениями. В районе безусловно есть и домезозойские (или раннемезозойские) лайки, установить истинный возраст которых сейчас не представляется возможным. Плавающее же большинство лаек прорывает

все геологические образования района (исключая белогорскую свиту) и связано с меловым магматизмом.

Распределение даек по площади неравномерно. Они встречаются спорадически всюду, но в некоторых тектонических зонах количество их исключительно велико. В первую очередь сюда относятся Октябрьский рудный узел с прилегающими территориями. Обильные и разнообразные по составу дайки сосредоточены здесь в пределах северо-восточного, субширотного дайкового пояса, шириной до 12—13 км. К востоку, затухая, он уходит за пределы района. К северо-западу и юго-востоку количество даек также постепенно уменьшается.

Значительно меньших размеров дайковые поля известны вдоль р. Гари волни устья р. Бол. Джелгулака, в среднем течении р. 2-ой Гари и некоторых других местах.

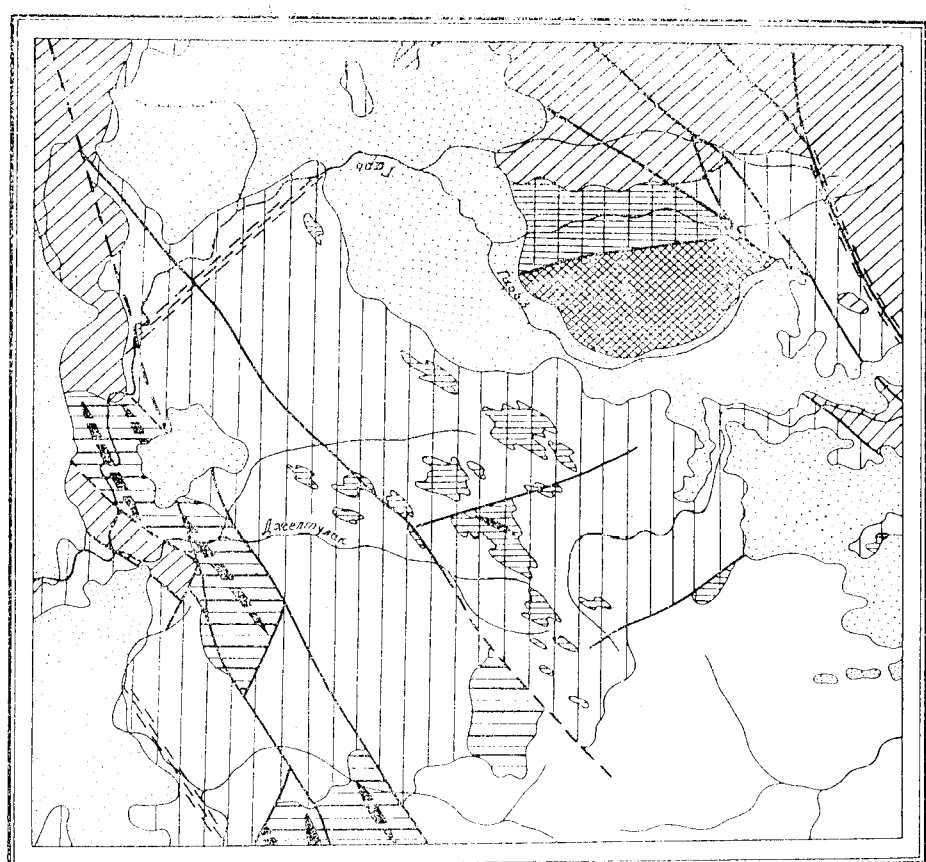
По микроструктуре и составу среди дайковых пород выделяются микроплатиграниты и платигранит-порфирь (УлPz_3^2). Близ устья Бол. Джелгулака они тесно ассоциируют с силурийскими осадочными породами и за пределами их распространения не встречаются. Это, очевидно, наиболее древние дайки и им условно придается позднепалеозойский возраст. Их северо-восточное простижение совпадает с направлением разрывных нарушений и складчатых структур. Мощность даек от 1—5 м до нескольких десятков метров. Платиграниты и платигранит-порфирь сложены сильно серидитизированными и эпилитизированными кислыми плагиоклазами, блититом и роговой обманкой, замещенными хлоритом и эпилитом. В порфировых разностях содержатся вкрашенники кислых плагиоклазов и кварца.

Разнообразнее состав меловых даек. Намечается следующая их возрастная последовательность от древних к более молодым (Чудинов, 1960ф; Бондаренко, Пан, 1962ф): фельзант-порфирь, фельзиты и кварцевые порфирь (АлPz_1^1); гранодиорит-порфирь и гранит-порфирь (УлCr_1^1); диоритовые и кварцевые диоритовые порфирь, микродиориты, спессартиты (ДиCr_1^1); лейкократовые, аplitовые граниты (УлCr_1^2).Петрографическая характеристика большинства из этих пород дана выше при описании соответствующих по составу гипабиссальных интрузий и здесь не приводится. Наиболее широко распространены дайки пород среднего состава. Фельзант-порфирь, фельзиты и кварцевые порфирь, помимо окрестности пристока Октябрьского, образуют даиковое поле в среднем течении р. 2-ой Гари. Это светлые с желтоватым или кремовым оттенком породы. В микрокристаллической кварцевово-полево-литиговой основной массе они содержат вкрашенники серидитизированных кислых плагиоклазов, блютита (в фельзант-порфирах) и кварца (в кварцевых порфирах).

С типобассальными меловыми интрузиями парагенетически связана золоторудная минерализация района. К полям развития даек распустили Октябрьского рудного узла, р. 2-ой Гари и бассейна клюва Ясного. Намечается даже некоторая закономерность в приуроченности головок россыпей и проявленний золота к группам даек определенного состава (Бондаренко, Пан, 1962ф). Так в россыпях, начинаяющихся в районах распространения даек кислого состава, золото мелкое и его проба 800—850. В россыпях, тяготеющих к районам более основных даек, золото крупное и проба его 850—950. Пока эта закономерность не может считаться окончательно установленной, так как территориальная разграничительность между отдельными дайковыми породами не выдерживается. Тем не менее парагенетическая связь с ним золота прослеживается.

ТЕКТОНИКА

Рассматриваемый район находится в пределах Монголо-Охотского складчатого пояса. Тектонические особенности его определяются широким распространением гранитных интрузий, наличием складчатых протерозойских, палеозойских, мезозойских образований и горизонтально залегающих рыхлых отложений кайнозоя (рис. 2, 3). Складчатые структуры и интрузии пересечены многочисленными крупными разломами, преимущественно северо-восточного и отчасти северо-западного направления. Реже и главным образом внутри древних толщ наблюдаются меридиональные разрывы.



Наиболее древние толщи, а именно нижнепротерозойские гнейсы, подверглись сильному региональному метаморфизму до образования пород синеклий и антиклиний, которые метаморфизованы значительно слабее. Немногочисленные данные, полученные в результате горных работ, свидетельствуют о том,

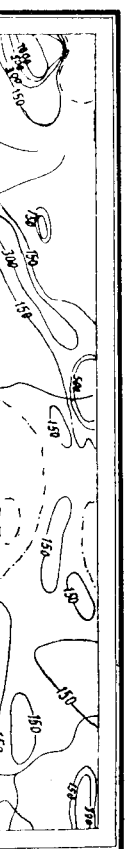


Рис. 3. Карта магнитного поля в изолиниях ΔT .
1 — изолинии положительных значений ΔT ; 2 — изолинии отрицательных значений ΔT ; 3 — нулевые изолинии

что гнейсы образуют относительно круглые северо-восточного (почти меридионального) направления линейные прямые складки со сдвигами краевыми (падение 10—30°), при почти горизонтальных залеганиях столов в местах перегибов складок). Гофировка и плойчатость нетипичны. Залегание пород обычно спокойное.

Складчатые структуры сино-кембрия, сохранившиеся в виде фрагментов среди раннепалеозойских гранитов, имеют в общем северо-восточное простирание, т. е. отличие от меридиональных складок нижнего протерозоя. В отличие от простых крупных складок гнейсов в сино-кембрии наблюдаются крутые симметричные и асимметричные складки шириной 10—100 м. Углы падения крыльев меняются от 30 до 85°. Широко проявленна мелкая складчатость — гофировка, плойчатость. При этом часто наблюдаемые гранитные инъекции обычно повторяют мелкие складки. Складчатость сино-кембрия, по видимому, сопровождается втврдением гранитов, образовавших крупные интрузивные тела, согласные со складчатыми структурами.

Как видно из геологической карты, силуэтристические и девонские отложения сохранились среди раннепалеозойских гранитов в виде узкой (8—10 км) полосы в общем того же северо-восточного простирания, как и в сино-кембрии. Системой взаимно пересекающихся разрывов они разбиты на многочисленные блоки, внутри которых заключены отдельные фрагменты складок. В целом среднепалеозойские отложения образуют довольно пологие складчатые структуры. В бассейнах рек Гари и Бол. Джелтулака на крыльях прослеживающейся здесь синклиналии обнажены гравестониты нижнекумынинской подсвиты, а в ядре песчаники и алевролиты верхнекумынинской подсвиты и ольдайской свиты, охарактеризованные фауной. Углы падения крыльев складок от 20 до 35°. В бассейне р. Инканы закартировано замыкание силуэтристических слоев, образующих крупную синклиналь, уходящую за пределы территории в бассейн р. Мамына. Простирание слоев здесь изменяется от юго-восточного до широтного. На фоне этой крупной синклиналии наблюдаются несколько простых складок с пологими (18—20°) крыльями, срезанными серией разрывов. Девонские отложения в истоках р. Бол. Джелтулака залегают моноклинально, падая на северо-запад под углами 10—30°.

На северо-западе района обнажены триасовые и юрские отложения. Друг от друга они отделены несогласием и перекрыты осадконакоплением. Судить о том, насколько тектонический план триасовых структур отличается от горских, трудно. В описываемом районе триас распространен незначительно. На сопротивляемой с севера и северо-запада площади (Мамонтов, 1963ф; Шибанов, 1963ф) свиты триаса, простираясь в северо-восточном направлении, близ р. Депа поворачивают к востоку, образуя крупную антиклинальную структуру Юрские отложения близ р. Депа меняют меридиональное простирание на широтное и юго-западное, образуя крупную синклинальную структуру. В пределах описанного района частично прослеживается ее восточное крыло. Таким образом, мезозойские отложения образуют две сопряженные крупные структуры — антиклинальную и синклинальную. Оси их ориентированы в северо-восточном направлении. Углы падения крыльев складок 10—20°, реже более крутые (до 40°). Крупные складчатые структуры, довольно простые по форме, обычно осложнены более мелкими, часто асимметричными складками шириной от 20—50 м до 1,5—2 км.

Тождественность в направлении и характере складок юры и триаса может свидетельствовать о том, что они развивались унаследованно, если не одновременно.

Немногочисленные данные о залегании ураловкинской свиты указывают на широтное простирание и на пологое падение ее столов к югу (14°).

Меловые покровы эффеузивов резко несогласно залегают на различных по возрасту интрузивных и осадочных породах. Достаточного материала об их складчатых деформациях не имеется.

Наиболее мощной наложенной структурой в районе следует считать горизонтально лежащий, чехол плойден-нижечертвильных рыхлых отложений (белогорская свита), слагающий в бассейне р. Гари и в верховых р. Каляхи окраинную часть Зейско-Буринской равнины. Абсолютные отметки погоды этих отложений закономерно увеличиваются от 240 м на юге, до 280—300 м на севере района. В результате последующего понижения района (или понижения базиса эрозии) речная сеть врезалась в толщу рыхлых отложений, размыла их, обнажив в узерах рек и ключей покров коренных пород и сохранив породы белогорской свиты на водоразделах.

Многочисленны в районе разрывные нарушения. Преобладающие они концентрируются зонами брекчирования, мильтигназии и рассланцевания (ногда значительной мощности, как, например, по р. Плотуточке, Гаря и др.). Обычно к разломам приурочены отрицательные формы рельефа. В плане разрывные нарушения прямолинейны или слабо изогнуты, что указывает на их куполное падение. За долгую историю геологического развития района происходило возникновение разрывных нарушений различного направления, масштаба и подновление ранее существовавших.

К наиболее ранним следует отнести крупные тектонические разрывы — близ меридионального направления. Они наблюдаются в раннепалеозойских гранитах и в наиболее древних образованиях района. В мезозое преобладают разрывные нарушения северо-восточного направления. Их протяженность достигает 30—40 км и даже более. По ним нарушен складчатые структуры Тягаса и юры. Плоскости смещения под крутыми углами наклонены чаще к северо-западу. К этой системе разломов приурочены меловые гипабиссальные интрузии — небольшие массивы, штоки, дайки, которые для Октябрьского рудного узла и бассейна клона Ясного являются рудоконтролирующими для проявлений золота.

Разрывы северо-западного направления являются наиболее молодыми, секущими все образования района, исключая белогорскую свиту. Обычно они менее протяжены (5—10 км).

Останавливаться кратко на истории геологического развития района, следует сказать, что для долапеозойского времени характеристики данных нет, в раннем палеозое произошло становление крупных интрузий гранитов, по видимому, синхронных со складчатостью, охватившей молевые толщи синекембрия. К началу силурийского периода древние складчатые структуры и древние интрузии были эродированы. С силурийской трангрессией связано отложение на выровненной поверхности в уступах открытого морского меловидного бассейна близ береговой линии грубовласистых пород, состоящих из продуктов разрушения древних гранитов (омутинская свита). Примено с конца силурийского периода и до эйфельского века был первым осадконакоплением, который, очевидно, не сопровождался складчатыми движениими. Базальные слои эйфельского яруса (иманлинская свита) залегают непосредственно на раннепалеозойских гранитах. Девонское осадконакопление сути из продуктов разрушения древних гранитов. Осадконакопление этого времени происходило в условиях открытого теплого моря, о чем свидетельствует наличие карбонатных пород с кораллами и другой обильной фауной. Складчатые движения среднего палеозоя особой интенсивностью, вероятно, не отличались. Магматические проявления, связанные с ними, в районе не отмечены. Более поздних отложений вплоть до верхнего триаса в районе нет и геология чеческая история его для этого времени остается неясной. Вероятно, территория испытывала преимущественно восходящие движения. На размытом кристаллическом основании в позднем триасе произошло заложение Амуро-Зейского прогиба, который заполнился морскими, а с конца юры континентальными осадочными и эфузивными образованиями. Излияния последних наиболее интенсивно происходили в раннечетвертичную эпоху. Дислокированы мезозойские отложения очень слабо. Интрузии этого времени связаны с разрывной тектоникой.

С конца неогена и, вероятно, включая среднечетвертичное время, происходила аккумуляция озерно-речных осадков. С позднейшими тектоническими движениями и врезанием руслей современной гидросети связано образование террас разных уровней.

ГЕОМОРФОЛОГИЯ

Описываемый район, как и вся расположенная к югу от хребта Джагы, территории, представляет собой поверхность длительного денудационного выравнивания, наклоненную в сторону Амуро-Зейской аккумулятивной равнины. На фоне этой поверхности выделяются разобщенные выступы останцовских гор и отдельные вершины, сложенные наиболее стойкими к выветрива-

нию горными породами. Значительная площадь в бассейнах рек Гаря и Б. Калахты занята рыхлыми отложениями белогорской свиты. Поверхности древнего пепелена расщеплена четвертичными долинами. Таким образом, выделяются следующие морфогенетические типы рельефа: эрозионно-денудационный останцовый рельеф, холмисто-аккумулятивный рельеф денудации-аккумулятивной равнины и эрозионно-аккумулятивный рельеф террас и пойм.

К эрозионно-денудационному типу рельефа относятся крутосклонные возвышенности, образующие группы останцовых гор или отдельные останцы высот. Первые из них обычно являются водоразделами крупных рек района. По морфологическим особенностям этот рельеф относится к крутосклонному низкогорью с остройками, хорошо очертенными бершинами и узкими, глубокого врезания речными долинами. Протяженность водоразделенных хребтов 5—20 км. Абсолютные высоты колеблются от 500 до 900 м при относительных превышениях над днишами долин до 360 м. Конусообразные вершины соединены узкими седловинами. Изолированные высоты и их небольшие группы характерны для окрестностей пристиска Октябрьского и встречаются в других местах района. Сложены они наиболее устойчивыми к выветриванию эфузивными, кварцитами, гравелитами и пегматитовыми породами.

Описанный рельеф представляет собой останцовые горы среди обширной древней пeneцилинированной поверхности, описание которой приводим ниже.

Денудационно-акумулятивная равнина представляет собой остатки древнего пепелена с полого-выпуклыми водоразделенными пространствами, с неглубокими, сильно разработанными в ширину долинами. Этот тип рельефа является резко преобладающим. Он развивается на границах и мезозойских отложений с молчным (2—5 м) чехлом элювиально-делювиальных суглинков со щебнем и обломками пород. Довольно широко распространена также кора выветривания из глин и щебня коренных пород. В процессе денудации продукты разрушения коренных пород аккумулировались в пониженных частях рельефа, что еще более способствовало его выравниванию. В целом рельеф депрессионно-аккумулятивной равнины характеризуется холмисто-увалистыми формами. Его положительные формы представляют широкими заболоченными возвышенностями без четко выраженных водораздельных линий. Их абсолютный уровень составляет в среднем 400 м. На поверхности водоразделов и склонов часто наблюдаются буры морозного выпучивания, сложенные буровато-серыми суглинками с дресвой породой. Склоны плоских широких водоразделов, сложенных песками белогорской свиты, нередко террасированы и на разных высотных уровнях наблюдаются уступы, высотой до 10 м. Некоторые из водоразделов, где распространены глинистые отложения, имеют специфический западинно-бутористый микрорельеф. В западинах располагаются полузаросшие озера, а между ними возвышаются сухие буры, заросшие лиственным лесом и подлеском.

Пониженные участки рельефа представлены сильно заболоченными долинами. Характер речных долин различен и зависит от того, располагаются ли они в эрозионно-останцовой части рельефа или на денудационно-аккумулятивной поверхности выравнивания. В первом случае долины глубоко врезаны, имеют V-образный или яйкообразный поперечный профиль. Глубинная эрозия водотоков весьма активна. Малоносичный аллювий представлен современными пестрено-гачечными отложениями слабо формированной почвы. Элементов завершившихся эрозионных циклов здесь нет (террас или аллювия древнеэрозионного).

При выходе в область пeneцлены долины теряют эти качества и становятся неетубокими и плоскими. Их ширина достигает 1,5—2 км при ширине русла 5—7 м. Низкая пойма развита незначительно и представлена песчано-глинистыми отложениями отмелей и кос. Высокая пойма широко распространена в долинах всех крупных водотоков района. Ее плоская или слабо всхол-

Меленная поверхность очень полого наклонена в сторону русла, осложнена западинами, аккумулятивно-эрзотонными буграми и сильно заболочена. Местами много различной величины, часто без четких границ, теряющихся среди концарника. Сложенена высокая пойма средне-четвертичными и современными отложениями — песками и глиной с гальками, щебнем и обломками пород. Уступы более древних террас чаще сложены и настаивают постепенно. Плавные переходы поймы в склоны воззвышенности через так называемые ували. Это своеобразные террасы без уступов, представляющие собой плавные, пологие наклоненные в сторону русла, Мощность нестыми площацами, достигает 19 м (р. Инкан), средне-верхнечетвертичного аллювия на увалах достигает 19 м (р. Инкан), а иногда он вообще отсутствует. По крупным рекам в удалении от их верховьев (Гарь, Б. Калакта, Инкан и др.) местами прослеживаются аккумулятивная или скульптурно-аккумулятивная, надпойменная терраса с четко выраженным уступом высотой 1,5—3 м (до 5—8 м в низовых р. Гары). Таким образом, описываемые долины в своем развитии претерпели два основных эрозионных цикла. Первый из них связан с врезанием гидросети и заполнением пологих долин рыхлым материалом в средне-верхнечетвертичное время. С аллювием этого периода связаны наиболее богатые россыпи золота. В последующее время происходило дальнейшее углубление долин рек и формирование современной поймы. На верховьях долин современное врезание распространяется не в полной мере, благодаря чему пойменные отложения загорались уклоном вниз по течению большим, нежели средне-верхнечетвертичный аллювий. Последний в верховьях долин подстилает современную пойму, а ниже по течению располагается на одном с ней плите и гипсометрическом уровне. Еще ниже она слагается из террасы, а современная пойма врезана в коренные породы или плиоцен-нижнечетвертичные отложения. Соответствующим образом ведут себя и россыпи: в верховьях долин (Октябрьский рудный узел) они располагаются под современным аллювием, а ниже по течению на увалах — на одном с ним уровне. Далее вниз по течению они перемыты при современном врезании долин.

Согласно изложенному материалу, краткая история развития рельефа и формирования рыхлых отложений предстает следующим образом. В долиненое, а также несколько более позднее время описанное выше он претерпевал длительный процесс эрозионно-денудационного выравнивания и являлся, вероятно, областью выноса больших масс обломочного материала в расположенный южнее Зейско-Бурзянского котловину. Поверхность выравнивания срезает различные образования и уходит под отложения плиоцен-нижнечетвертичной равнины. В качестве реликтов древнего рельефа сохранялись останочные возвышенности и отдельные высоты. В пределах этой поверхности очень широко были распространены сильно выпирательные породы, очевидно значительной мощности. К настоящему времени они сохранились во многих местах района, на поверхности некоторых водоразделов и под четвертичным аллювием.

В процессе формирования поверхности выравнивания, а именно, в плиоцен-нижнечетвертичное время происходила также региональная аккумуляция озерно-речных отложений в бассейнах рек Гары (на юге и Б. Калакта (на севере). Более древние рыхлые отложения, если и существовали, были перекрыты, очевидно, полностью. Во всяком случае, они пока не обнаружены.

В средне-верхнечетвертичное время активизировалась глубинная эрозия рек района. Протекают интенсивное углубление долин и накопление в них аллювия с захоронением в нем kostей мамонтов бизонов. С этим временным связано формирование наибольшего богатых россыпей золота.

Современное врезание русел рек способствовало образованию террас и пойм.

ПОЛЕЗНЫЕ ИСКОПАЕМЫЕ

На рассматриваемой территории известны месторождения и проявления различных полезных ископаемых: железа, золота, цветных и редких металлов; хризотил-асбеста, камня и строительных материалов. Наиболее важным является золото, образующее многочисленные промытленные россыпи (отработанные и частично разрабатываемые сейчас).

Металлические ископаемые

Магнетитовые руды. В описываемом районе известно одно непромышленное месторождение и семь проявлений магнетитовых руд. Партизанское месторождение [139] находится в истоках р. Плуточки среди группы останцовых сполок, называемых Партизанскими. В 1940 г. магнитометрической съемкой (Саваский, 1941 ф) установлено пять железорудных тело-глинистыми сланцами левона, прорванными небольшой интрузией раннеглинистыми. В том же году произведена разведка (Дитмар, Прозоров, 1941 ф) и оценено количество подсчитаны запасы по категориям C_1 и C_2 (около 25 млн т). Эти запасы оказались завышеными. В результате дополнительной разведки (Твердомед, 1941 ф) они были уменьшены до 0,5—1 млн т. Несмотря на хорошее качество руд, месторождение было отнесено к числу непромышленных.

Район месторождения сложен мраморизованными известняками и песчано-глинистыми сланцами левона, прорванными небольшой интрузией раннеглинистыми тела железнорудных гнейзо-области и линзообразной формы. Руды меловые кислые эффиузивы. В приконтактовой зоне с кварцевыми диоритами все породы орогликованы или скварированы и содержат вкрашенность и отдельные тела железнорудных гнейзо-области и линзообразной формы. Руды меловые тела невелики (наиболее 50—80×40 мм) и представлены гидротермальными, контактово-метасоматическими залежами. Руды магнетит-гематитовые, тематитовые, мангано-магнетитовые. Их средний химический состав следующий: железо 62%, марганец до 5%, фосфор соли преленты, сера до 0,01%, кремнезем 2,5%, ионога до 14%.

В 1958 г. район покрыт аэромагнитной съемкой масштаба 1:25 000, а на Партизанском месторождении проведены наземные магнитометрические работы (Игнатьев, Фаженек, 1959 ф). В результате подтвердились открытия промышленных месторождений в районе вообще.

В истоках р. Бол. Джелтулака известны скарново-магнетитовые тела иметоно интересны с точки зрения золотоносности. Как проявления скарново-магнетитовые тела иметоно интересны с точки зрения золотоносности.

Хром по р. 2-ой Гары образует солевой поток рассеяния [11]. В 25 пробах донных осадков его содержание составляет 0,006—0,04% (при фоновых значениях до 0,004%). В долине 2-ой Гары распространены сино-кембрий, прорванные небольшими телами серпентинитов, содержащих хромит. Спектральный анализ в них устанавливается присутствие хрома до 0,1—0,3%. (Сущинский, 1953 ф). В пределах выходов серпентинитов металлогеометрические пробы содержат повышенные количества хрома (0,01—0,3%). Виду небольших разрывов ультрастостных интрузий и их территориальной разобщенности, поиски промышленных хромитовых руд мало перспективны.

Титан. В аллювии современной гидросети в небольших концентрациях встречаются часто ильменит. Только по р. 2-ой Гары его содержание в золотосодержащих россыпях иногда достигает 6 кг/м³ [12], а по р. Бол. Джелтулаку — 0,13—0,16 кг/м³ (Николаев, 1955 ф).

Медь образует четные солевые ореола рассеяния. По ключам Орлиновому и Безымянному [25] ее содержание в донных осадках составляет 0,005—0,02%. Здесь распространены юрские отложения, прорванные гранодиорит-порфиритами.

При небольших ореолах установлены отребованы деловия в верховьях р. Бол. Джелтулака [73] и по правобережью ключей Меньшиковского [39] и Золотого [24] в области развития раннепалеозойских и раннеметовых интрузий. Солеружье меди в ореолах составляет 0,006—0,06%.

Кроме того, халькопирит в небольших количествах присутствует в свинцово-цинковых и золоторудных проявлениях. Свинец. Проявление ключа Ясного [6] обнаружено глубоким шурфом в долине, в брекчированных и окварцированных порфиритах. По трещинкам и

мелкими гнездами в них концентрируются галенит, сфалерит, халькопирит и ковеллит. В целом минерализация незначительна сульфиды не превышают 2—3% объема породы. Реального интереса для поисково-разведочных работ не представляет.

На водоразделе рек Бол. Джелтулака и Б. Калахты известно три проявления [43, 45, 77] в приkontактовых частях сино-кембрийских пород с рапи- пагеозитами гранитами. Сульфиды образуют мелкую вкрапленность (в среднем 2—3% объема породы) и представлены пирротином, галенитом, сфалеритом, халькопиритом, пиритом, реже молибденитом, арсенопиритом и марказитом. Спектральными анализами установлено, что свинец до 0,3%, цинк и молибден до 0,03% (Бондаренко, Пав, 1962ф). Кроме того, сульфиды свинца и цинка сопутствуют почти всем золоторудным проявлениям. В исто- как р. Б. Калахты установлен ореол [42] рассеяния свинца ($15 \times 0,5$ км) с со- держанием его в деловине 0,002—0,6%. По ключу Озенному поток рассеяния зо- свинца и цинка [35] охватывает площадь 10—15% км². Содержание цинка в чистых осадках 0,003—0,004%, цинка 0,006—0,008%. Повышенные содержания свинца (0,003—0,005%) и цинка (до 0,006%) отмечаются в деловине близ проявлений олова в истоках кл. Весеннего.

Н и к е л - к о б а л т о в ы е незначительные проявления связаны с сер- пентинитами, обнаруживающимися в среднем течении р. 2-ой Гары [27, 29] и в Верховых р. Аяка [95, 96]. Серпентиниты рассеяны серией разрывных на- рушений, вдоль которых листенитизированы. Спектральным анализом бороздовых и штукфных проб в них установлены никель 0,06—0,3%, кобальт 0,006—0,03%, медь до 0,01% и хром 0,1—0,3%, но минералогическая природа их неясна. Тысячные и сотые процента никеля и кобальта отмечаются в ле- ловине близ выходов серпентинитов. Совместно с хромом и кобальтом рас- сеяния никеля и кобальта [11] охватывает среднее и нижнее течение р. 2-ой Гары, где встречаются ультраосновные породы. В долинах осадках этой реки никеля 0,004—0,03%, кобальта до 0,004%.

З о л о т о — является главным и почти единственным полезным ископае- мым, которое эксплуатируется в отсыреваемом районе. Открытие золоторудос- сеяния никеля и кобальта по ключу Седуновскому, притоку р. Джелтулаку производились старательями еще с 1904 г. В 1934 г. по ключу Ясному и его притокам открыты богатые рос- сыпи, которые начали разрабатываться с 1935 г. специально организованным Депским присыпковым управлением. В 1937 г. старелями установлена золо- тоносность рек 1-го и 2-го Джелтулаков, а весной 1937 г. Пав. А. Сушкиным открыта богатейшая россыпь по ключу Седуновскому, притоку р. 1-го Джел- тулака. В последующие годы в бассейнах рек Бол. Джелтулака и Б. Калахты были открыты многочисленные россыпи, которые начали разрабатываться в 1940 г. Они эксплуатируются дражажем и гидравлическим способом. Из этих россыпей добыты десятки тонн золота.

При поисках рудного золота, несмотря на богатые россыпи, обнаружите- промышенные коренные месторождения не удалось. В районе Ясненской промышенной поиски проводила Р. Г. Лебедева (Лебедева, 1938). В больших объемах работы велись в Октябрьском рудном узле, особенно после посе- мендаций. В течение 10 лет поисками коренных руд занималась присыпковое управление, а в 1959—1961 гг. специальная партия ДВГУ (Чудинов и др., 1960, 1961, 1963ф). Промышенные золоторудные тела не обнаружены и по- исковые работы к настоящему времени практически прекратены. Установлено, что обычной является рассеянная минерализация с разрывами колеба- ниями, содержащей золота, но объектов для промышленной разработки не обнаружено.

Наиболее важный для района Октябрьский рудный узел охватывает вер- ховья рек Бол. Джелтулака (со всеми его притоками), Б. Калахты и водо- раздель их с р. Ельной. Здесь распространены раннегеологические граниты с многочисленными ксенолитами силлиманит-сподио-варвашевых сланцев сп- но-кембрия. В верховьях р. 2-го Джелтулака на них залягают лепонитовые, песчаники, алевролиты, мраморизованные известняки. Все эти породы прорваны

раннемеловыми гранодиоритами. Отличительной чертой является чрезвычай- ное обилие меловых лаек диоритовых порфиритов, гранодиорит-порфиритов, кварцевых порфиров и лейкораковатых гранитов. Они сконцентрированы в по- лосе шириной до 8 км, ориентированной почти широтно. Рудообразования зо- лота генетически связанны с лайковым комплексом и представлены гидротер- мальным и kontaktово-метасоматическим типами.

Большинство известныхрудообразений сосредоточено в головках рос- сыпей и представлено кварцевыми, кварцево-карбонатными жилами, прожил- ками, зонами окварцевания и кальцитации [51, 53, 55, 88, 89, 62, 49, 63, 66, 86, 90, 93, 110]. Они располагаются в залывандах лаек гранодиорит-порфиритов, диоритовых порфиров, микродиоритов и в зонах дробления среди сланцев сино-кембрия, левона, реже каледонских гранитов. Мощность лаек до 0,3 м, форма их сложная, ветвящаяся. Жилья кварца трех генераций. Одна из них представлена высокотемпературным кварцем — массивным, полого-белым (безрудным), а вторая мутно-серым, полупрозрачным с пиритом, Магне- титом, шеелитом, иногда с золотом. Золото обычно связано с низкотемпера- турным хальцедономидом, гравенчатым кварцем третей генерации, содер- жанием также галенита, арсенопирита, пирита, сфалерита. Кварц различных ге- нераций слагает самостоятельные жилы и прожилки или встречаются со- вместно. Часто жилы по простиранию переходят в окварцированные, кальци- тизированные зоны. Последние располагаются также самостоятельно и пред- ставлены брекчированными городами, сменяющими кварцем или про- низанными густой сетью прожилков (до 0,05 лм). Мощность зон 0,5—1 м. Содержание золота резко колеблются и в среднем составляют менее 5 г/т (при максимальных значениях 57 г/т).

На горе Известковой [53], в одной пробе из кварц-кальцитовой жилы со- держание золота достигало 7204 г/т при среднем содержании его в жиле 0,6 г/т. Протяженность золотоносных тел от 15 до 300 м. Все они являются непромыщенными в связи с неустойчивыми, в общем низкими содержаниями металла и маломощностью рудоносных тел. В центре золото находится в по- родах в распыленном виде и не концентрируется в скользко-нибудь мощных или с дистацочным содержанием металла рудных телах, экономически вы- годных для разработки. Это почти не дает надежд на обнаружение в Ок- тябрьском узле промышенных золоторудных месторождений. К такому вы- воду в отношении проявлений горы Известковой пришел Ю. А. Билибин еще 20 лет назад.

В истоках ключей Широкого, Усы [71, 44] и на сопке Известковой [48] установлены контактово-метасоматические проявления в мраморизованных известняках сино-кембрия. Это небольшие тела линзовидной ($4—7 \times 40—70$ м) или неправильной формы ($15 \times 20 \times 10$ м). Они состоят из кварца, эпидота, кальцита, магнетита, пирротина, пирита, вкрапленности халькопирита. Руд- ных минералов в породе 15—18%, редко 30—40%. Содержание золота резко несторонне. В среднем оно составляет 2—3 г/т, максимальное 20—21 г/т. Некоторые из контактово-метасоматических руд железа [72, 74] содержат в залывандах до 5—6 г/т золота. В результате глубокого эрозионного среза гранитов в них сохранились небольшие кориевые части ксеноглоблов мраморов. Это значительно снижает возможность обнаружения промышенных руд зо- лота этого типа.

Проявление ключа Ясного [7] представлено кварц-карбонатными и кварц-турмалиновыми жилами, залягающие в порфиритах нижнего мела. Их про- тяженность от 10 до 160 м, мощность 0,2—0,3 м, иногда до 1,5 м. Форма про- стая (с небольшими апофизами) или ветвистая. Жилья кварца скапливают и турмалином солережут вкрапленность и небольшие гнезда пирита (до 15%). Иногда галенита, сфалерита. Содержание золота различно и не превышает 2—4 и 6—8 г/т (в кварц-карбонатных жилах). В аллюзии ключа Ясного обломки жильного кварца передки и содержат иногда вrostки золота. При разведке Ясненской россыпи установлена привычность долины к зоне крутого разлома. Порфириты здесь раздроблены, обварованы, пиритизированы и содержат кварц-карбонатные гнейса с сульфидами железа.

реже свинца, меди и цинка (Лебедева, 1935ф). Содержание золота в порфиритах до 0,3—1,5 г/т, а в кварцево-сульфидных гнездах до 6—7 г/т.

Проявления золота в среднем течении р. 2-й Гари представлены кварлево-карбонатными жилами в контакте серпентинитов с сино-кембрием. На правобережье [29] известны три жилы протяженностью 100—300 м при мощности 0,2—3,0 м (в раздувах). Содержание золота составляет 0,4 г/т и в одном случае 9,2 г/т. На левобережье [27] жила протяженностью 450 м и мощностью 0,2—0,5 м содержит золота 0,4 г/т. Кроме того, золото в количестве не сколько десятков знаков (до 0,4 г/т) присутствует в окварцированных серпентинах и породах сино-кембра.

В протолочке из кварцевой жилы в истоках ключа Ключа Веселого [102] обнаружено 11 знаков золота, некоторые из них находятся в спротоках с бисмутитом. Здесь же присутствует 104 зерна киновари и кассiterита. Кроме этого проявления, в верховьях ключа Веселого в ряде зон гидротермально измененных гранитов с проявлениями олова по ряду бороздовых проб содержание золота составляет 0,01—0,1 г/т.

Основная масса россыпного золота связана со средне-верхнечетвертичными отложениями, содержащими кости млекопитающих животных. Редко современных россыпей нивелики. Почти все золотоносные россыпи аллювиальные, долинные или террасовые (валовые), иногда смешанные. Элювиально-делювиальные россыпи редки (например Нагорная, Моренная). С временные и древние россыпи распологаются независимо друг от друга. Если первые из них залегают под тальвагом долины или на глубине 3—6 м, то древние россыпи распологаются вне связи с современным руслом и значительно глубже — от 5—8 до 10—15 м. Случается, что эти разновозрастные россыпи расположены одна над другой и разделены слоем пустой породы (торфа древней россыпи). В некоторых долинах при образовании современной россыпи частично или полностью перекрывается неглубоко залегающей древняя. При этом возникает довольно сложное строение россыпей (например в верховьях р. 1-го Джелтулака). Ниже описываются имеющиеся в районе россыпи (в том числе отработанные) по отдельным бассейнам.

Средне-верхнечетвертичные аллювиальные россыпи. В основном промышленными россыпями являются древние россыпи, содержащие остатки костей мамонтов и бизонов. Большинство их находится в бассейне р. Бол. Джелтулака. Долинно-богатства являются также россыпи ключа Ясного, верховьев рек Гары и Б. Калахты.

Россыпи бассейна р. Бол. Джелтулака многочисленны и наиболее богаты. Совместно с россыпями р. Б. Калахты они образуют Октябрьский узел россыпей, геологическая характеристика которого дана выше. Большинство россыпей отработано и дало не менее 43—45 т золота. Залегают они часто в увалих, переходя с одного борта долины на другой. В вершинах долин там, где они зажаты между останицами, россыпи погребены под современным аллювием. В табл. 1 отражены основные данные по этим россыпям.

Золотоносные пластины либо сильвотовыветренельные, галечники с пестроцветной пачкой и представляемы примазкой, либо песчано-глинисто-листами отложений со шебнем галькой. Наиболее обогащенной является средняя часть пластика. В вершинах клона золото в россыпях высокопробное (900—950), крупное, ноздреватое, часто в сростках с кварцем. Встречаются самородки до 500 г. Ниже по течению крутизна золота уменьшается, а окатаются увелличивается. Золоту сопутствуют киноварь, шеелит, реже галенит, вольфрамит (?). В породах пачки, представляющие собой выветрельные до дресвы и глины коренные породы, золото проникает неглубоко и в небольших количествах.

Ясенская группа россыпей [3, 5, 8] разрабатывалась гидравлическими и мускульными способами. В 1959—1960 гг. запасы золота были пересчитаны и поставлены на баланс промысла. Основные данные приведены в табл. 2.

Золотоносный пласт располагается на плотике и состоит из песка и глин с обломками сильновыветрелых нижнеловых порфиритов и песчаников.

Таблица 1

№	Наименование россыпей	Длина россыпи, км	Мощность, м		Содержание золота в пласте, г/м³	Количество добываемого золота (в т) и светлений о разработке
			До 14	0,6—7,2		
58	Ключа Седуновского	6	До 14	0,6—7,2	4,7	17 т; запасы пересчитываются для отработки 16,4 т; то же частично отработана 6,3 т; эксплуатируется, дозарывается, 6,3 т; эксплуатируется, дозарывается, 1,8; то же
52	" Маристого	3,9	1,6—12,5	0,4—4,2	4—8	
56	Правая струя ключа Маристого	Нет свед.	0,8—4,4	0,4—2,6	3—8	
60	Ключа Горного	1,2	3,5	1,5—2,1	3—4	
54	" Широкого	5,5	7	0,7—2,8	2—15	
67	1-го Джелтулака и Увалиная Ключа Бесенгенного	20	4—9	1—2,2	4,2	
113	"	10	4—6	0,4—2,6	До 200	1 т; эксплуатируется То же
91	р. Бол. Джелтулака	5,8	7,8—13,8	0,4—3,0	5,2	
85	р. 2-го Джелтулака	7,8	1—8,4	0,8—4,0	2,8	
128,	Ключа Дорожного	3,2	Нет свед.	Нет свед.	До 6,2	Отработана
129,	Джелтулака 3	2,7	11—13	0,6—1,8	4,4	Числятся запасы
131,	"	2,7	0,2—2,0	0,47	"	
133	Ключа Вахромеевского	2,8	Нет свед.	0,2—2,0	Нет свед.	0,3 т; частично отработана
122	" Зеленого	3,0	2,2—10	0,2—2,0	Нет свед.	174 кг; отработана
121	"	1,2	Нет сведений	0,47—3,5	0,47—3,5	числятся запасы
115	Холодного	1,2	Нет сведений	Нет свед.	3,3	Отработана Непромышленная
119	Лугового	5,6	"	"	1,9	
140	" Мачтного	1,4	2,4—7,0	" 0,4 "	1,2	
41	" Менишниковского	2,6	3,7	"	Нет свед.	
114	Теплого	1,4	4—7,8	Нет свед.	1,9	
116	Грязного	4,6	Нет сведений	"	1,2	
117	Глухого Ултучи	1,8	6,4—5,4	"	Нет свед.	
97	"	3,5	2,8—8	0,4—1,2	До 7,65	
99	"	"	"	"	"	
118	" Южного	3,0	До 12	0,6—2,0	Нет свед.	Частично промыщенная
120	" Параллельного и р. Иланы	7,8	10—15	1,8	До 31	
84	" Южного параллельного и р. Задорного	4,5	4—10	0,6—2,8	3—28	Эксплуатируется
46	р. Б. Калахты	11,3	3—7	1,6	3—4	

Таблица 2

Современные россыпи образованы за счет перемыва древних россыпей и размыва коренных источников. К первым из них относятся россыпи по рекам 3-ему Джелтулаку [125, 130], Большому Джелтулаку [124, 127, 136] и нижняя часть россыпи р. 1-го Джелтулака [67]. Все они, за исключением последней, непримесленные и числятся за балансом с небольшими запасами. Строение россыпей однобразно. Начинаются они обычно в 5—10 км от вершин рек, где современные русла врезаны глубже пластов дренированных россыпей. Протяженность 3—15 м), состоящему из глин, илов и песка с гальками и обломками пород. Золото отделяется струями концентрируется в нижних частях аллювия (1—2 м). Его содержание неравномерно (3—10 г/м³), пробность 885. Протяженность россыпей различна — от не скольких до 10 км (Большой Джелтулак).

№ на карте	Наименование россыпей	Мощность, м			Количество добываемого золота (в тг). Сведения о разработке
		Длина россыпей, км	Содержание золота, г/т	Мощность, м	
5	Ключа Ясного	11,7	До 4,0	0,4—3,5	2,8
8	Резервного	2,0	3,5—4,0	0,4—1,0	0,3
4	" Ноловицкого	3,5—4,0	0,4—1,0	До 15	4,7 Нет свед.
	" Нет свед.				" "

Наиболее обогащенной была его нижняя часть (20—50 см). Золото высокопробное (900), крупное (2—4 мм). Нередко самородки в 30—50 г, иногда до 100 г. Распределение металла в пласте чрезвычайно неравномерно. Совместно с золотом присутствуют магнетит, пирит, киноварь, галенит и малахит. Ключи с россыпями размывают дробленые, окварцованные и приглазированные породы юры и мела. Реки в верховьях р. Гары [9, 12, 14, 15 и др.] частично отработаны, частично эксплуатируются (табл. 3).

Таблица 3

№ на карте	Наименование россыпей	Мощность, м			Количество добываемого золота (в тг). Сведения о разработке
		Длина россыпей, км	Мощность торфов, м	Содержание золота, г/т	
9	р. 1-ой Гари	6	До 5,6	0,8—1,6	0,3—6,0 Непромышл.
14	р. " 2-ой Гари	4,3	1—10	0,3—2,0	2,5 Экспл.
12	"	3,8	0,5—2,0	0,232	250 кг; экспл.
26	"	3,4	0,2—2,5	0,226	Экспл.
15	"	7,6	0,2—2,5	0,120	Непромышл.
33	Ключа Завершающего	1,2	1,6—3	Нет свед.	Нет свед.
16	Каракатицы	1,2	Нет сведений	0,12	200 кг; разработка развалами старательской земли, забалансовая, разрабатывалась старателями, Тоже Непромышл.
36	Платинового	2	4,2	0,6	До 4,8
37	р. 4-й Гары	2	7—9	1,5—2,8	0,2—1,4 Непромышл.

Золотоносный пласт располагается на плотике из раннепалеозойских гранитов и хорнфит-эпилот-кварцевых сланцев сино-кембрия, прорваных тектоническими складчатыми. Характерны многочисленные разрывные нарушения, вдоль которых породы окваркованы лиственитизированы, пиритизированы и содержат касситерит и золото. Пласт состоит из песка, глины и гальки с примесью шебня. Содержание золота неравномерное, крупность его различна. По р. 2-ой Гары встречались самородки до 814 г. Вместе с золотом присутствуют касситерит, осмистый иридий, платина, хромит, магнетит.

Шлиховым определением золота в небольших количествах установлено в аллювии большинства водотоков района. Два шлиховых ореола установлены по р. Ульям [137] и по ключу Весеннему [38] в связь с известными россыпями. По р. Ульям 1—2 знака золота присутствуют в восьми пильках, а по ключу Весеннему в 16 пробах 1—4 знака. Золото окатанное, мелкое. В широких долинах этих водотоков возможны небольшие россыпи и их лесообразано разведывать несколькими линиями буровых скважин станком «Эмпайр».

Как видно из описания проявлений и россыпей, золото генетически связано с мезозойскими интрузиями диоритовых порфиритов, микродиоритов, гранодиорит-порфиритов, слагающими небольшие типобиосильные тела и многочисленными дайки. Об этом свидетельствует приуроченность оруденения к зальбадам даек и к кварцевым прожилкам, иногда их пересекают. Проявления ключа Ясного связаны с кварц-карбонатными жилами и прожилками в раннепалеозойских порфиритах. Анализ неизмененного диоритового порфирита показал содержание золота 0,03 г/т, а пиритизированных порфиритов по ключу Ясному — до 0,3—1,5 г/т. Золотоносность, связанная с раннепалеозойскими гранитоидами, видимо, отсутствует. Определение базальных континераторов, гравелистов и сиулара и девона золото в них не установлено.

Платина и осмистый иридий присутствуют в приплотниковой части золоторудных россыпей по р. 2-ой Гары [26] и ключу Завершающему [33] в количестве до 7—10% от веса намываемого золота. Форма зерен неправильная, древовидная, реже пластинчатая. Источником этих металлов являются серпентиниты, что установлено их опробованием (Сушкин, 1961 ф.). Олово. В 1939 г. П. А. Сушкин обнаружил касситерит в золотоносных россыпях по р. 2-ой Гары (до 1000 знаков на лоток). Б. М. Штемпель (1940) отмечал наличие касситерита (8—10 знаков на лоток) в аллювии р. Инканы. В 1948—1949 гг. К. Ф. Прудников и А. И. Юдин установили широкое распространение касситерита в бассейне р. Гары, что подтверждилось различными

золотом [23], Санчук [20]. Восточный пласт россыпи по рекам 3-ему Джелтулаку [125, 130], Большому Джелтулаку [124, 127, 136] и нижняя часть россыпи р. 1-го Джелтулака [67]. Все они, за исключением последней, непримесленные и числятся за балансом с небольшими запасами. Строение россыпей однобразно. Начинаются они обычно в 5—10 км от вершин рек, где современные русла врезаны глубже пластов дренированных россыпей. Протяженность к полименному аллювию (мощность 3—15 м), состоящему из глин, илов и песка с гальками и обломками пород. Золото отделяется струями концентрируется в нижних частях аллювия (1—2 м). Его содержание неравномерно (3—10 г/м³), пробность 885. Протяженность россыпей различна — от не скольких до 10 км (Большой Джелтулак).

Русловые россыпи по р. Инкану [126, 132, 134], ключам Макараку [21], Золотому [23], Санчук [20]. Восточный пласт россыпи по рекам 2-ому Джелтулаку [85] является также нетронутыми. По р. Санчук россыпь отрабатывалась старателями. Торфа этих россыпей (до 2—4 м) или-стог-глинистые, песчано-глинистые. Узкий золотоносный пласт мощностью 0,4—2 м состоит из галечников с песком и глинистой примазкой. Содержание золота в нем 2—5 г/м³ (р. Инкан). Русловые россыпи по ключам Дугта [94], Ленскому [28] и Безымянному [31] отрабатываются старателями и следованием по ним имеется.

Второй тип современных россыпей — элювиально-делювиальный проявления. Сюда относятся россыпи Нагорная [59] и Моренная [61]. Длина их промышенной части соответственно 700 и 640 м, средняя ширина 28 и 50 м. Мощность торфов (растительный слой, суглинки со шебнем и обломками) 0,2—10 м, золотоносного пласта 0,2—4,4 м (1—2,2 [61]). Состав последнего — песень и обломки коренных пород, смешанные с песком и глиной. Распределение золота весьма неравномерное, гнездовое, среднее содержание 9 г/м³ [59] и 4 г/м³ [61]. Золото крупное, неокатанное. Источником его являются проявления горы Известковой [48, 53].

Шлиховым определением золота в небольших количествах установлено в аллювии большинства водотоков района. Два шлиховых ореола установлены по р. Ульям [137] и по ключу Весеннему [38] в связь с известными россыпями. По р. Ульям 1—2 знака золота присутствуют в восьми пильках, а по ключу Весеннему в 16 пробах 1—4 знака. Золото окатанное, мелкое. В широких долинах этих водотоков возможны небольшие россыпи и их лесообразано разведывать несколькими линиями буровых скважин станком «Эмпайр».

Как видно из описания проявлений и россыпей, золото генетически связано с мезозойскими интрузиями диоритовых порфиритов, микродиоритов, гранодиорит-порфиритов, слагающими небольшие типобиосильные тела и многочисленными дайками. Об этом свидетельствует приуроченность оруденения к зальбадам даек и к кварцевым прожилкам, иногда их пересекают. Проявления ключа Ясного связаны с кварц-карбонатными жилами и прожилками в раннепалеозойских порфиритах. Анализ неизмененного диоритового порфирита показал содержание золота 0,03 г/т, а пиритизированных порфиритов по ключу Ясному — до 0,3—1,5 г/т. Золотоносность, связанная с раннепалеозойскими гранитоидами, видимо, отсутствует. Определение базальных континераторов, гравелистов и сиулара и девона золото в них не установлено.

Платина и осмистый иридий присутствуют в приплотниковой части золоторудных россыпей по р. 2-ой Гары [26] и ключу Завершающему [33] в количестве до 7—10% от веса намываемого золота. Форма зерен неправильная, древовидная, реже пластинчатая. Источником этих металлов являются серпентиниты, что установлено их опробованием (Сушкин, 1961 ф.). Олово. В 1939 г. П. А. Сушкин обнаружил касситерит в золотоносных россыпях по р. 2-ой Гары (до 1000 знаков на лоток). Б. М. Штемпель (1940) отмечал наличие касситерита (8—10 знаков на лоток) в аллювии р. Инканы. В 1948—1949 гг. К. Ф. Прудников и А. И. Юдин установили широкое распространение касситерита в бассейне р. Гары, что подтверждилось различными

исследователями. К настоящему времени открыты и коренные проявления олова.

Пять небольших проявлений [101, 104, 106, 107, 108] установлены в исторических клонах Веселого (Майбороды, 1963 ф). Здесь распространены раннепалеозойские граниты, прорванные дайками гранит-порфиров и диоритовых порфиритов. Проявления связаны с северо-восточными разрывами, вдоль которых брекчированы, оквартированы, серилицизированы и слабо пиритизированы. По данным химического анализа, содержание олова в бороздовых пробах не превышает 0,05%. Спектральным анализом штуфных проб установлены содержания до 0,2%.

Помимо кассiterита, измененные граниты и прожилки кварца содержат шеелит, флюорит, иногда золото, бисмутит, молибдит и киноварь. Размеры минерализованных зон неизвестны. Одна из них в верховых реки Веселого [107] прослежена по обломкам в деловии на 300 м, при мощности около 100 м. В деловии здесь же отмечается повышенное содержание и других элементов, в частности бериллия, в связи с чем верховья клона Веселого рекомендуются для дальнейшего изучения.

Кассiterит присутствует также в зонах лиственитизации серпентинитов (до 200 знаков в пробах весом 5 кг) и в кварцевых жилах совместно с золотом [27, 29].

Крупный (650 км²) шлиховой ореол кассiterита [10] охватывает верховья р. Гары, выше устья реки Магергекской. Почти все шлиховые пробы содержат кассiterит от нескользких зерен до 80 г/м³ (в редких шлихах). Упомянутые выше коренные проявления олова попадают в пределы данного ореола и, видимо, являются источниками россыпного кассiterита. По клонау Веселому и р. 2-ой Гары известны единичные находки деревянного олова.

По клошу Золотому (приток р. Ельни), где распространены раннепалеозойские грандиориты, выделяется шлиховой ореол [22] с содержаниями кассiterита от нескольких зерен до 65 г/м³. Кассiterит поступает в аллювий с правобережья клона, где он установлен в деловии. Коренной источник неизвестен. Спектральным анализом донных осадков олово установлено по рекам Ултучи [98], Бол. Джелтулаку [82] и клошу Меньшиковскому [40]. Содержание до 0,06%.

Слабая обнаженность района сильно затрудняет ведение поисковых работ. В связи с этим поисковый интерес сейчас может представлять только участок верховьев клона Веселого и лишь с учетом того, что там известно не только олово, но и другие проявления.

В ольфрам. В большинстве шлиховых проб присутствует шеелит, который образует четыре ореола рассеяния, приуроченных к выходам раннепалеозойских гранитоидов [19, 22, 100, 70]. Содержание шеелита составляет до 30—50 зерен, а по клошу Веселому до 100 зерен на лоток. В истоках р. Бол. Джелтулака [70] шеелит установлен шлиховым опробованием деловия. Источником его здесь служат сквирированные породы сино-кембрия. В истоках клоча Веселого шеелит присутствует в брекчированных, оквартированных гранитах (до 30 зерен на 0,5 кг породы).

Имеются указания о присутствии в золотоносных россыпях приска Октябрьского во лфрама. Однако коренной источник его пока неизвестен.

Молибден [80, 81] известен в брекчированных и оквартированных породах сино-кембрия и раннепалеозойских гранитах, где наблюдаются кварц-полифилитовые прожилки (с содержанием до 0,03%). В истоках клона Веселого в гидротермально измененных гранитах [103] молибденит (до 13 зерен на 0,5—1 кг) присутствует совместно с бисмутитом, шеелитом и кассiterитом. Согласно спектральному анализу, содержание молибдена достигает 0,01%.

По клошу Ленскому (среди юрских отложений) и в верховых рек Макарака и др. (среди раннепалеозойских гранитоидов) установлены солевые потоки рассеяния молибдена [18] с содержанием его в донных осадках 0,01% и в единичных случаях 0,002—0,003%. Коренной источник не найден.

Бериллий в истоках клона Веселого образует металлогеометрический ореол рассеяния площадью около 6 км² [105]. Содержание его в деловии составляет 0,003—0,05%, а в одном случае 0,08%. Коренной источник бериллия неизвестен. Ореол представляет интерес для поисковых работ, учитывая широкое распространение гидротермально измененных гранитов.

Ртуть. Присутствие в аллювии киновари является обычным. На лоток (0,01 м³) намывается от нескольких зерен до нескольких десятков их (редко до 100). Оконтуривается несколько шлиховых ореолов киновари по рекам 1-ому Джелтулаку [65], М. Калахте [2] и клошу Ясному [4]. В бассейне 1-го Джелтулака киноварь установлена в деловиальных отложениях до 10 зерен на лоток [68, 109]. Как правило, содержит киноварь золотоносные россыпи, причем встречаются куски ее размером с куриное яйцо.

По клошу Ясному, р. М. Калахте, приуроченным к разрывным нарушениям среди юры и триаса, киноварь присутствует до 20 зерен на лоток. При обработке золота по клошу Ясному она встречалась очень часто, иногда в значительных количествах (обломки размером до 5 см).

Потоки рассеяния с содержанием ртути до 0,001% установлены опробованием донных осадков по клонам Жимгуляку [17] и Йотовинскому [1]. В верховых клона Веселого в протоэзите жильного кварца [102] соединено с золотом и кассiterитом, установлено 104 зерна киновари. Редкие зерна ее обнаружены также в гидротермально измененных гранитах. В истоках Большого Джелтулака она содержится в окварцованных породах сино-кембрия.

Связь ртутной минерализации с гидротермальными процессами видна по разломам, устанавливается четко, но существенных концентраций киновари не встречено и, может быть, потому, что к таким зонам нарушенный обычно приводят современные долины. Перспективы обнаружения ртутных проявлений очевидно, наибольше благоприятны в районе расщепления мезозоя, где возможны оруденельные зоны тектонических разрывов.

В иссугут самостоятельных скоплений не образует. Совместно с оловом [106, 107, 108] он присутствует в кварцевых жилах и гидротермально измененных раннепалеозойских гранитах (до 0,1%). В штуфных пробах (0,5 кг) количество бисмутита достигает 0,26 г. Совместно с золотом в сквирированных породах сино-кембрия содержится до 0,06% висмута. На левобережье р. 2-го Джелтулака в деловии известен шлиховой ореол (горядка 2 км²) базисмутина и бисмутита с содержанием 1—10 знаков на шлих [87].

Неметаллические ископаемые

Флюорит известен в истоках 1-го Джелтулака [69]. Здесь породы сино-кембрия в контакте с дайками грандиорит-порфиров содержат вкрашенность, небольшие пачки и линзы размером 4×30 см флюоритового флюорита. В полумете от контакта флюорит исчезает, в связи с чем практическая ценность он не представляет.

Абестхризотиловый известен на правобережье 2-ой Гары [29] и в истоках Аяка [95]. В первом случае негустая сеть прожилков хризотил-асбеста мощностью до 0,5 см растягивает серпентиниты (содержание асбеста не более 2—5% объема породы). Во втором случае в истоках р. Аяка в серпентинитах вскрыты три жилы асбеста мощностью до 10 см каждая. Ориентированы они в северо-восточном направлении, но по простирию не прослежены. Сложены жилы аргентитом грубоволокнистых и радиально-лучистых кристаллов хризотила длиной до 2 см. Кристаллы по отношению к контакту расположены диагонально. В составе жил присутствует много кварца, обеспечивающего это проявление хризотила он не расщепляется на волокна).

Не исключено наличие других проявлений асбеста, но их поиски затруднены очень слабой обнаженностью и заболоченностью выходов серпентинитов.

Тальк известен среди гидротермально-измененных серпентинитов. Породы, содержащие 75—80% талька, могут быть отнесены к тальковым камням. В проявлениях по правобережью 2-ой Гары [29, 32] мощность застекленных

талькового камня колеблется от 0,5 до 5 м. По простианию она прослеживается до 10–200 м. Тальковый камень — мелкозернистая жирная порода

зеленовато-серого или буроватого цвета. В виде примесей присутствуют магнетит, карбонаты, реликты серпентина.

На левобережье 2-ой Гары проявление талька [34] представлено залежью талькового камня (мощность 10 м) в эндоконтакте массива серпентинитов. Это серая, желтоватая порода, содержащая лишь редкие зерна магнетита. Проявления представляют интерес для разведочных и поисковых работ.

Строительные материалы

Известняки известны в истоках ключей Широкого и Маршего [57], где в виде ксенолитов (200×500 м) заключены в раннепалеозойских гранитах. Их выходы протягиваются по 5 км. Скважинами они прослежены до глубины 120 м. Известняки светло-серые, сильно мраморизованные.

Используются местными предприятиями для обжига на известь. На левобережье Бол. Джигултула [92] в имачинской свите известно три пласти мраморизованных известняков мощностью 1—3 м и протяженностью до 4 км. Добыча в одном карьере производится также для обжига на известь.

Глины распространены широко. Близ пос. Октябрьского карьером эксплуатируются коры выветривания гранитов [64]. Их мощность до 1,5 м. На этих глинах работает небольшой кирпичный завод, вполне удовлетворяющий местные нужды. Глины есть во всему району в составе кор выветривания и среди четвертичных [13] отложений. В случае необходимости подходящий объект для эксплуатации может быть найден и разведен практически там, где это потребуется.

Песок с гравием и галькой широко распространены в составе белогорской свиты. Вдоль автодороги пост. Октябрьский—Ураловка имеется ряд карьеров [138, 141], откуда эти материалы используются для различных хозяйственных нужд. Запасы их не подсчитывались, но, безусловно, они достаточно велики. Для дорожного строительства используется также дресва и щебень выветренных гранитов.

Подылоковая известь, можно сказать, что горная экономика района определяется в основном ее золотоносностью. О перспективах обнаружения месторождений золота и других полезных ископаемых говорилось при их описании. Можно добавить, что в результате много летних поисков и разведки плоцади для обнаружения новых, сколько-нибудь крупных россыпей значительно сократились. Пополнение запасов золота в настоящее время поддерживается счетом добычи и переделки ранее известных россыпей.

Как упоминалось, застуживают откосы долины р. Ульюм и ключа Весеннеого. Рекомендуются также поиски россыпей по ключу Магнитному (Сушков, 1961ф) и при получении там положительных результатов в верховьях рек Дутэ, Бол. Аяка и среднем течении р. Гары, где поисковые работы практически не проводились и где золото в деловом ($до 25 \text{ м}^3/\text{м}^3$) известно на значительной плоцади Аяского массива лиственицизованных серпентинитов.

Бессспорно интересен для поисков рудного золота бассейн ключа Ясного, где была богата россыпь, связанная с размытвом супфилизионированных метаморфитов. Однако обстановка для поисковых работ там крайне неблагоприятна из-за исключительной заболоченности местности. Требует дальнейшего изучения золотоносность зон окварцевания, листенитизации в серпентинитах, а также участок верховьев ключа Весеннеого, где сосредоточены коренные проявления олова, золота, молибдена, висмута и известны признаки бериллиевого оруденения.

Следует благоприятно расценить перспективы обнаружения тальковых хризотил-асbestовых месторождений. В этом направлении желательны дальнейшие исследования. В отношении никель-кобальтовой минерализации и минералов группы платины имеются малоисследленные материалы, требующие пополнения при работах на рудное золото, тальк и пр.

ПОДЗЕМНЫЕ ВОДЫ

Специальных работ по изучению гидрогеологии территории проводилось мало и касаются они в основном района приставки Октябрьского. Исследования С. Н. Смоленского (1940ф) и Ф. Фижика (1953ф) заключались в поисках технической питьевой воды для населения и промышленной приставки Октябрьского. В 1957 г. проведены буровые работы для водоснабжения Октябрьской центральной электростанции. Общие сведения о гидрогеологических особенностях района получены при геологическом картировании в масштабах 1 : 200 000 и 1 : 50 000.

В связи с особенностями геологического строения района и условиями циркуляции подземных вод последние разделяются на аллювиальные, делювиальные, трещинные и трещинно-жильные.

Аллювиальные воды имеют небольшое значение в общем балансе водных ресурсов района. Приурочены они к двум водоносным горизонтам. Первый из них связан с современными и средне-верхнечетвертичными отложениями, второй — с древним аллювием белогорской свиты. В целом аллювиальные воды занимают всю плоцадь распространения соответствующих отложений. Водообильность горизонта современных и средне-верхнечетвертичных отложений неравnomерна и существенно зависит от гранулометрического состава пород. Пески, галька и щебень обладают хорошими фильтрующими свойствами. Глины и илы почти не пропускают воду и служат водоупорами. Мощность водоупорных горизонтов различна. Растигаются они на разной глубине. Просачиваются сверху и достигают водоупора, воды скатываются в сторону его уклона, создавая напоры. Водный поток разбивается на отдельные части в форме линз и ванн, содержащих иногда значительные запасы вод, которые могут использоватьсь. Так, скважина, пробуренная в долине ключа Широкого восточнее пос. Октябрьского, встретила напорные аллювиальные воды, которые самонизливались с расходом 0,5—1 л/сек. Суточный debit колодца на месте этой скважины составил 260 м³. Такие воды используются для водоснабжения пос. Октябрьского, где круглогодично работают две водонасосные станции. Вода проэрзирована или же гидравлическая, без запаха, с незначительным осадком. Химические свойства ее приведены в табл. № 4 (пробы 1 и 2).

Обводненность белогорской свиты, залегающей на водоразделах, неравномерна и целиком зависит от атмосферных осадков. Уровень групповых вод подтвержден резким колебанием и в дождливые периоды лежит близко от поверхности (0,3—0,5 м). Разгрузка вод белогорской свиты находится в прямой зависимости от степени пересеченности рельефа местности. В связи со значительной выпложенненостью рельефа выходы подземных вод на поверхность редки и носят исходящий пластовый характер. Наличие по некоторым водоразделам глинистых отложений затрудняет инфильтрацию атмосферных осадков, приводит к переувлажнению почв и заболачиванию.

Питание аллювиальных вод осуществляется за счет выпадения атмосферных осадков, инфильтрации рек, ключей и весеннего снеготаяния. На повышении аллювиальных вод существенно оказывается наличие многогодней мерзлоты. Зимой слой сезонного оттаивания промерзает и соединяется с много летней мерзлотой. Но часть деятельного слоя сохраняется от промерзания и в нем накапливается вода (надмерзлотные воды) обладающая напором, обуславливающим на ряде участков образование наледей. Насыщенные водой талики затрудняют ведение горных работ в зимнее время и осложняют дорожное строительство.

Делювиальные воды циркулируют в рыхлых делювиальных отложениях, покрывающих возвышенности и их склоны. Они распространены повсеместно и служат сервейским препятствием при проходке горных выработок. Уровень делювиальных вод зависит от количества выпадающих осадков, являющихся главным источником их питания (кроме подтека трещинных вод). Широким плацдармальным потоком они располагаются над слоем многослойной мерзлоты или над коренными породами. Глубина их залегания от поверхности составляет 1—2 и до 0,3—0,5 м в дождливое время. Они, как пра-

Таблица 4

Состав	Проба		
	1	2	3
Концентрация водородных ионов рН	7,2	6,4	7,1
Плотный сухой остаток	39,1	40,5	41,6,0
Углекислота свободная	24,2	28,6	28,6
Сероводород свободный	Нет	Нет	Нет
Окись кремния	12,0	11,5	7,0
натрия	7,0	7,9	8,1
калия	0,6	0,8	—
магния	94,4	25,7	100,2
аммония	18,6	22,5	—
Аммиак	1,0	0,2	Нет
Железо окисное	Нет	Нет	0,28
закисное	Нет	Нет	—
Ион соляной кислоты	99,0	15,0	123,1
серной кислоты	17,2	4,0	21,0
" азотной "	38,0	14,0	42,5
азотная кислота	0,4	0,02	Следы
Ион бикарбонатов	176,9	85,4	158,7
Жесткость общая (в градусах)	6,24	1,71	19,2
карбонатная "	2,90	1,4	7,3
некарбонатная "	3,34	0,31	—

вило, не напорные, но при благоприятных условиях (вогнутой, ямообразной форме водоупорного горизонта) могут служить источником водостабожения. Установлено, что они являются маложесткими, гидрокарбонатными, кальциево-магниевыми.

В поселках Октябрьском и Ясном большинство колодцев использует деглювиальную воду. Дебит их небольшой ($2,5-7 \text{ м}^3/\text{сек}$) и они пригодны только для индивидуального водопользования. В зимнее время большинство колодцев перекрывает (из шестидесяти круглый год функционирует менее десяти колодцев).

Трещинные воды — это воды мелкой трещиноватости в коренных породах (небольшие разрывные они к зоне выветривания пород и извесят глини). Приурочены они к зоне выветривания пород и исчезают с глинистой. Трещинные воды создают небольшой безнапорный поток в сторону уклона местности. Питание вод осуществляется за счет атмосферных осадков. Практического значения они не имеют.

К трещинно-жильным относятся воды крупных разрывных нарушений, мицонглизации и рассланцевания. Это открытые трещины, по которым воды свободно прокачиваются. По мощности водоносный горизонт соответствует ширине зоны дробленых пород.

Практическое значение вод этого типа несомненно. Свидетельством может служить скважина, пробуренная в окрестностях присыка Октябрьского. На глубине 19 м от поверхности встречена глинистый горизонт мощностью 3 м, приуроченный к крупному разрыву в кристаллических сланцах. Глинистые воды этого горизонта обладают значительным напором и самозливается из скважины. Удельный дебит скважин 0,84–1,45 л/сек. Вода бесцветная, прозрачная, запахом и вкусом не обладает. Ее химические свойства приведены в табл. 4.

По составу она гидрокарбонатная, кальциево-магниевая и удовлетворяет требованиям питьевого и технического водостабожения.

В заключение отметим, что приток всех типов вод подвержен значительным сезонным колебаниям. Наибольшим он бывает в период с июля по ок-

тябрь. Нестабильность циркуляции грунтовых вод обуславливает трудности ритмичного и своевременного водостабожения производственных объектов приска Октябрьского и удовлетворения нужд населения. Существующая в настоящее время система водостабожения недостаточна и нуждается в расширении (в основном за счет трещинно-жильных вод).

ЛИТЕРАТУРА

Опубликованная

- Андреев Э. Э. Геологические исследования по обоим берегам Зеи от устья р. Депа р. Семенджи. ГИЗОС, вып. XVI, 1912.
Бацевич Л. Ф. Материалы для изучения Амурского края в геологическом и горнопромышленном отношении. СПб, 1894.
Иванов Д. В. Амуро-Зейский водораздел. Геологические исследования в 1896 г.
Красный Л. И. Основные вопросы тектоники Хабаровского края и Амурской области. Материалы ВСЕГЕИ, нов. серия, вып. 37, 1960.
Красный Л. И., Куриков Д. А. [и др]. Государственная геологическая карта СССР, м-ба 1: 1 000 000. Лист №52 (Зея), 1960.
Лебедев Е. Л. Верхнеамурская флора р. Зеи и ее значение для разграничения верхнеамурских и нижнемеловых континентальных отложений в бассейне р. Амура. Докл. АН СССР, т. 150, № 1, 1963.
Лучинский И. В., Крестовиков В. Н. О стратиграфии палеозойских отложений верхней Амура. Докл. АН СССР, т. 75, № 2, 1950.
Маликин С. Ф. Геологические исследования в Зеинско-Депском районе Амурской области. ГИЗОС, вып. 12, 1911.
Мозалевская Е. А. Средний палеозой бассейна верхнего Амура. Информ. сб. ВСЕГЕИ, № 5, 1958.
Москаленко З. Д., Фрейдин А. И. Стратиграфия юрских и меловых отложений Верхнего Приамурья. Зап. Ленингр. горн. ин-та, т. XLVII, вып. 2, 1964.
Музылев С. А. Государственная геологическая карта СССР м-ба 1: 1 000 000. Лист №52 (Благовещенск), 1962.
Сибирякова Л. В. Новые находки морской юрской фауны в бассейне верхнего течения р. Амура. Информ. сб. ВСЕГЕИ, № 25, 1960.
Сокроход В. З. Основные черты геологического строения южной части Советского Дальнего Востока. Владивосток, 1941.
Сухин М. В. Геологическая карта СССР м-ба 1: 200 000. Серия Амуро-Зейская, лист №52-XXXII, 1960.
Яковлев В. Н. Новые данные по стратиграфии Верхне-Амурской области. «Сов. геол.», № 32, 1948.

Фондохранилище (хранится в фондах ДВГУ) *

- Билибин Ю. А. Заключение о результатах и направлении поисково-разведочных работ на рудное золото в 1944–1945 гг. на приске Октябрьском, 1945 г. Фонды треста «Амурзолото», г. Свободный.
Бондаренко Е. И., Пан В. П. Геологическое строение и полезные ископаемые приска Октябрьского. 1962.
Москаленко З. Д., Воронин Д. В., Логинов Ю. М. Геологическая карта СССР м-ба 1: 200 000. Серия Амуро-Зейская, лист №51-XXXII, 1962.
Дитмар В. Г., Прозоров В. Я. [и др]. Партизанское железнорудное месторождение. 1941.

- Мельянов П. П., Пчелинцева Г. Т. Материалы по стратиграфии юрских отложений Сковородинского района Амурской области. 1951.

* Для литературы, хранящейся в других местах, сделаны специальные оговорки.

ХЗубков В. Ф. Геологическое строение северной части листа №-52-XXVII. 1961.

Зубков В. Ф. [и др.]. Геологическое строение и полезные ископаемые восточной части листа №-52-XXVII. 1962.

Иванов С. А. Геологическая карта СССР масштаба 1 : 200 000. Серия Амуро-Зейская, лист №-52-XVI. 1963.

Игнатьев Г. Г., Фиженко В. В. [и др.]. Материалы по аэромагнитной съемке, проведенной партией № 16 в Амурской области в 1958 г. и некоторые новые данные по геологии отдельных участков исследованного района. 1959.

Коши М. Л. Сводный отчет по разведке рудного золота на приске Октябрьском приста «Амурзолото» за 1937—1946 гг. 1950. Фонды приста «Амурзолото». г. Свободный.

Кошин М. Л. Сводный отчет о работах Октябрьской партии на рудное золото за 1950—1955 гг. Фонды приста «Амурзолото». г. Свободный. 1956.

Красянская Е. Е. Отчет о результатах работ Деп-Новоямпольской партии в бассейнах рек Зеи и Депа Амурской области за 1952—1954 гг. 1955. Лазарев А. З., Пиоторовский М. В. [и др.]. Геология, геоморфология и золотоносность северной части Зея-Буренского амфитеатра. 1951.

Фогты «Амурзолото», г. Свободный.

Лебедев Р. П. Геолого-промышленный отчет по району Ясного —

системы р. Деп. 1935—1938 гг.

Лебедева Р. П. Краткие сведения о месторождении золота ключа Ясного — левого притока р. Деп. 1939.

Майдорода А. А., Ялынычев Е. В. Геологическое строение и полезные ископаемые юго-западной части листа №-52-XXVII с данными редкодионно-увяжечных маршрутов. 1963.

Мамонтов Ю. А. Геологическая карта СССР масштаба 1 : 200 000. Серия Амуро-Зейская, лист №-52-XX. 1963.

Маркова Л. Н., Бегунов И. Т., Сластенова Н. Е. Амуро-Зейский угледоский бассейн. 1955.

Модзальская Е. А. Средний палеозой восточной части Монголо-Охотской геосинклинальной области. Часть 1. 1969.

Мячин А. И. Стратиграфия каменноугольных отложений на площади листа №-52-XXXIII. 1957.

Пан В. П. [и др.]. Отчет о результатах крупномасштабных геологосъемочных работ, проведенных в верховьях рек Гарь 1-я и Гарь 2-я. 1963. Прудников К. Ф., Юдин А. И. Отчет о геолого-геоморфологических и поисковых работах, проведенных в 1949 г. в Зейско-Мамынском районе. 1950.

Савадский О. А. Отчет о поисково-магматических работах на Партизанском жемизорудном месторождении в бассейне р. Мамын за 1940 г. 1941.

Сайпина Л. М., Тонян Р. М. Геологическое строение и полезные ископаемые среднего течения р. Зеи и нижнего течения р. Деп Зейского района Амурской области. 1952.

Смоленский С. Н. Отчет о работах гидрогеологического отряда Депской поисковой экспедиции за 1939—1940 гг. 1940. Фонды «Амурзолото», г. Свободный.

Сорокин А. П. Геологическая карта СССР масштаба 1 : 200 000. Серия Амуро-Зейская, лист №-52-XXX. 1964.

Сухин М. В. [и др.]. Геологическое строение и полезные ископаемые бассейнов рек Гарь и Мамын. 1956.

Сушков П. А. Отчет о результатах работ Нинийской геолого-поисковой партии за 1939 г. 1940.

Сушков П. А. [и др.]. Результаты поисковых работ на никель, ртуть и другие полезные ископаемые на участках Долохит, Лохмаки, Моховой, в верхнем течении р. Гарь и по р. Зее при устье р. Депа. 1961.

Твердомед В. Н. Отчет о поисково-разведочных работах, проведенных на Партизанском жемизорудном месторождении в бассейне р. Мамын зимой 1940—1941 гг. 1941.

Федоровский В. С. Геологическая карта и карта полезных ископаемых масштаба 1 : 200 000. Серия Становая, лист №-52-XIV. 1961.

Федорцев В. А., Шилько Е. Г. [и др.]. Отчет о геологических работах в районе рек Гарь, Джелтузак, Икан, Мамын и в бассейне р. Нини.

Фонды «Амурзолото». г. Свободный. 1940.

Фижик Ф. Отчет по гидрогеологическим исследованиям в поселке Октябрьском в 1953 г. Фонды ГРО приска Октябрьского.

Чудинов М. Т., Нестров Н. В. Отчет о поисковых работах Октябрьской партии на рудное золото за 1959 г. 1960.

Чудинов М. Т., Родионов В. Н. Отчет о результатах поисковых работ на рудное золото в окрестах приска Октябрьского. 1961.

Дугра и Гарь, проведенных в 1962 г. 1963.

Шиханов В. В. Геологическое строение и полезные ископаемые южной части листа №-52-XXI. 1963.

Шиханов В. В. Геологическое строение и полезные ископаемые юго-западной части листа №-52-XXI. 1964.

Штемпель Б. М. Отчет по проверке заявок на железорудные месторождения в бассейне Мамын. 1940.

Яковенко Н. С. [и др.]. Отчет о работах Верхне-Амурской аэромагнитной партии за 1958 г. 1959.

ПРИЛОЖЕНИЕ I

Продолжение прилож. I

**СПИСОК МАТЕРИАЛОВ, ИСПОЛЬЗОВАННЫХ
ДЛЯ СОСТАВЛЕНИЯ КАРТЫ ПОЛЕЗНЫХ ИСКОПАЕМЫХ**

№ п/п	Фамилия, инициалы автора	Название работы	Год со- ставле- ния		Местонахождение материала, его фондовый номер	№ п/п	Фамилия, инициалы автора	Название работы	Год со- ставле- ния		Местонахождение материала, его фондовый номер	
			Местонахождение материала, его фондовый номер	Год со- ставле- ния					Местонахождение материала, его фондовый номер			
1	Бондаренко Е. И., Пан В. П.	Геологическое строение и полезные ископаемые района приска Октябрь- ского	1962	09382*		10	Майборода А. А., Ялы- нычев Е. В.	Геологическое строение и полезные ископаемые юго-западной части листа N-52-XXVII с данными ретракционно-утилизационных Маршрутов.	1963	09715		
2	Дитмар В. Г., Проzo- ров В. Я. и др.	Партизанское железо- рудное месторождение	1941	2878		11						
3	Ждан А. А., Ко- шин М. Л.	Объяснительная запис- ка к подсчету запасов россыпного золота по ре- зервному дражному по- литону к.л. Ясного	1957	Фонды пр. Октябрьского		12	Николаев С. Я.	Объяснительная запис- ка к металлогенической прогнозной карте по ти- тану	1955	04934		
4	Ждан А. А., Лопко- банов А. М.	Объяснительная запис- ка к подсчету запасов россыпного золота для дражной добычи по р. Джалтулаку 1	1955	То же		13	Пан В. П., Барвен- ко В. А. и др.	Геологическое строение и полезные ископаемые северной части листа N-52-XXVII	1964	010714		
5	Зубков В. Ф.	Геологическое строение и полезные ископаемые восточной части листа N-52-XXVII	1961	086		14	Прудников К. Ф., Юдин А. И.	Отчет о геолого-гео- морфологических и поис- ковых работах, проведенных бассейнов рек Гарь Перв- ая и Гарь Вторая.	1950	03206		
6	Зубков В. Ф., Майборода А. А., Красильников М. Г.	Сводный отчет по раз- ведке рудного золота на пр. Октябрьском треста Амурзолово за 1937— 1946 гг.	1962	09232		15	Сутробова В. В.	Геологическая характе- ристика планируемой к отработке части россыпей Результаты поисковых работ на никель, ртуть и другие полезные ископа- емые на участках До- лохит, Васильевский, Гахмаки, Моховой, в верхнем течении р. Гари и по р. Зее при устье р. Дега	1962	Фонды приска Октябрьского, без № 8946		
7	Кошин М. Л.	Сводный отчет о раз- ведке рудного золота на рудном золото за 1950—1955 гг.	1950	Фонды треста „Амурзолово”, 470		16	Сушкин Г. А., Аре- фьев В. И. и др.	Отчет о поисково-раз- ведочных работах, прове- денных на Партизанском железорудном месторож- дении в бассейне р. Ма- мын зимой 1940—1941 гг.	1961			
8	Кошин М. Л.	Сводный отчет о рабо- тах Октябрьской партии на рудное золото за 1950—1955 гг.	1956	То же, 102		17	Твердомел В. Н.	Отчет о поисково-раз- ведочных работах, прове- денных на Партизанском железорудном месторож- дении в бассейне р. Ма- мын зимой 1940—1941 гг.	1941	2879		
9	Лебедева Р. П.	Геолого-промышленный отчет по району Ясного— системы р. Дег, 1935— 1938 гг.	1939	То же, без №		18	Чудинов М. Т., Роди- нов В. Н.	Отчет о результатах поисковых работ на руд- ном золото в окрестно- стях приска Октябрь- ского	1961	08986		

* Рядом с краткими для материалов из геолфондов ДВГУ указывается только их инвентарный номер.

ПРИЛОЖЕНИЕ 2

**СПИСОК ПРОМЫШЛЕННЫХ МЕСТОРОЖДЕНИЙ
ПОЛЕЗНЫХ ИСКОПАЕМЫХ, ПОКАЗАННЫХ НА ЛИСТЕ № 52-ХVII
КАРТЫ ПОЛЕЗНЫХ ИСКОПАЕМЫХ М-БА 1 : 200 000**

№ по карте	Индекс клетки на карте	Наименование месторождения и вид полезного ископаемого	Состояние эксплуатации	№ исполь- зованного материала	Металлические ископаемые	
					Тип месторождения (К—коренное, Р—россыпное)	Тип месторождения (К—коренное, Р—россыпное)
31	II-1	Ключа Безымянного Ручья Вахромеевского	Отработана	P	5	6
122	III-3	" Весеннего	Не экспл.	n	11	9, 13
113	III-3	р. 1-й Гары	Экспл.	n	11	13
14	I-1	р. 2-й Гары	"	n	11, 15	3, 9, 13
12	I-1	р. 1-го Джелтулака	"	n	12, 13	5
26	II-1	" " Ручья Горного	"	n	13, 14	1, 11, 15
60	II-3	р. Бол. Джелтулака	"	n	11	3, 9, 13
91	II-4	"	"	n	11, 12, 15	4
67	II-3	р. 2-го Джелтулака	"	n	4, 11	1
111	III-3	" " р. 3-го Джелтулака	"	n	15	1
85	II-4	Ручья Дорожного	Не экспл.	n	15	1
131	III-4	" "	"	n	11, 6	1
133	III-4	р. Дутэ	"	n	11, 6	1
128	III-4	Ключа Завершающего	"	n	11, 6	1
129	III-4	Ключа Заозерного	"	n	11, 6	1
94	III-1	р. Инканы и Ключа Параллельного	"	n	16	1
33	II-1	Ключа Завершающего	"	n	5	6
50	II-3	Ключа Заозерного	Экспл.	n	1, 11, 15	6
47	II-3	Ключа Заозерного	"	n	15	6
121	II-3	р. Зеленого	"	n	6	6
84	II-4	р. Б. Калахты	Не экспл.	n	6, 11	11
46	II-3	Ключа Каракаты	Экспл.	n	1, 11	1, 11, 15
16	I-1	" Ленского	"	n	5	11
28	II-1	Ручья Лугового	"	n	5	11
119	III-3	Ключа Маристого	"	n	11	11
52	II-3	Правая струя Марис-	"	n	1	11
56	II-3	того	"	n	11	11

№ по карте	Индекс клетки на карте	Наименование месторождения и вид полезного ископаемого	Состояние эксплуатации	№ исполь- зованного материала	Продолжение прилож. 2	
					Тип месторождения (К—коренное, Р—россыпное)	Тип месторождения (К—коренное, Р—россыпное)
140	IV-3	Ключа Мачтого	Не экспл.	P	6	6
3	I-1	" Наговицкого	"	n	9, 13	9, 13
36	II-2	" Платинового	"	n	11	13
8	I-1	" Резервного	"	n	11	3, 9, 13
20	I-4	" Сангуляка	"	n	11	5
58	II-3	" Седуновского	"	n	11	1, 11, 15
115	III-3	Ручья Холодного	"	n	11	4
54	II-3	Ключа Широкого	Экспл.	n	11	1, 11, 15
5	I-1	Ключа Ясного	Не экспл.	n	11	3, 9, 13
57	II-3	Окрестности приска	Экспл.	K	1	1
92	II-4	Октябрьского Левобережье р. Бол. Джелтулака	"	n	11	1
		Глины	"			
		р. 1-я Гарь	"			
		Истоки р. 1-го Джелту- лака	"			
		Песок	"			
		Левобережье р. Гары	"			
		Правобережье р. Гары	"			

ПРИЛОЖЕНИЕ 3

СПИСОК НЕПРОМЫШЛЕННЫХ МЕСТОРОЖДЕНИЙ
ПОЛЕЗНЫХ ИСКОПАЕМЫХ, ПОКАЗАННЫХ НА ЛИСТЕ №-52-ХVII
КАРТЫ ПОЛЕЗНЫХ ИСКОПАЕМЫХ М-БА 1 : 200 00

№ по карте	Индекс клетки на карте	Наименование месторождения и вид полезного ископаемого	Состояние эксплуатации	Металлические ископаемые	
				№ использо- ванного материала по списку	Тип (К—коренное, Р—российское)
139	IV-3	Магнетитовые руды Партизанское месторождение	Не эксплуатируется	K	2, 17
123	III-3	Ключа Березового	"	P	11
136	III-4	Восточного	"	6	74
9	I-1	р. 1-ой Гари	"	13	75
15	I-1	р. 2-ой Гари	"	11	II-4
30	II-1	"	"	11	76
37	II-2	р. 4-ой Гари	"	5	II-4
116	III-3	Ключа Грязного	"	11	78
117	III-3	" Глухого	"	11	II-4
112	III-3	В верховье р. Бол. Джелтулака	"	6, 11	83
127	III-4	То же	"	6, 11	II-4
135	III-4	Среднее течение р. Бол. Джелтулака	"	73	72
124	III-3	р. 1-го Джелтулака	"	6	II-4
125	III-4	р. 3-го Джелтулака	"	6	24
130	III-4	"	"	6	1-4
23	I-4	Ключа Золотого	"	6	Правобережье Ключа
126	III-4	р. Инкана	"	6	Золотого
132	III-4	"	"	6	Правобережье Ключа
134	III-4	"	"	6	Менгликовского
21	I-4	Ключа Макарака	"	6	Медь
41	II-3	" Меньшиковского	"	6	Ключи Орлиный, Безы-
61	II-3	Моренная	"	6, 11	Сланец
59	II-3	Нагорная	"	6, 11	Сланец
114	III-3	Ключа Теплого	"	6, 11	Сланец
97	II-2	р. Ултуучи	"	6, 11	Сланец
99	II-2	"	"	6, 11	Сланец
118	III-3	"	"	6, 11	Сланец
120	III-3	Ключа Южного	"	6, 11	Сланец

ПРИЛОЖЕНИЕ 4

СПИСОК ПРОЯВЛЕНИЙ ПОЛЕЗНЫХ ИСКОПАЕМЫХ,
ПОКАЗАННЫХ НА ЛИСТЕ №-52-ХVII КАРТЫ ПОЛЕЗНЫХ
ИСКОПАЕМЫХ М-БА 1 : 200 000

№ по карте	Индекс клетки на карте	Название (местонахождение) и вид полезного ископаемого	Характеристика проявления	Металлические ископаемые	
				№ использо- ванного материала по списку	Номер исполь- зованного материала по списку
42	II-3	р. Б. Калахта	Спектрометаллометри- ческий ореол в дельтии	1	
35	II-2	Ключ Озерный	То же (свинец, цинк)	5	
6	I-1	" Ясный	Метавые порфириты с реккой вкрапленностью сульфидов (свинец, цинк, медь)	6	5, 13
43	II-3	Водораздел рек Джелтулака — Бол. Ка- лахты	Ороговикованные поро- ды сино-камбрия с суль- фидами (Pb, Zn, Mo, Cu)	1	

Продолжение прил. 4

№ по карте	Индекс клетки на карте	Название (местонахождение) проявления и вид полезного ископаемого	Характеристика проявления	Номер исполь- зованного материала по списку	
				№ по карте	Индекс клетки на карте
45	II-3	Водораздел рек Бол. Джелтулака — Бол. Ка-лахты	Орговиковые породы синекембрия с сульфидами (Pb, Zn, Mo, Cu)	1	1
77	II-4	р. Бол. Джелтулак	То же	1	1
95	III-1	Никель, кобальт Верховье р. Аяка	В лиственитизированных серпентинитах никеля до 0,3%, кобальта до 0,03%	16	16
96	III-1	Верховье р. Аяка	То же	16	88
27	II-1	Гары Левобережье р. 2-ой	“ “	16	90
29	II-1	Гары Правобережье р. 2-ой	“ “	16	7
11	II-1	Никель, кобальт, хром р. 2-ая Гарь	Мегаллометрический ореол	5	1-1
		Золото			
27	II-1	Гары Левобережье р. 2-ой	Кварцево-карбонатная жила (золота 0,4 г/т)	13	101
29	II-1	Гары Правобережье р. 2-ой	Кварцево-карбонатные жилы (золота 0,4 г/т)	13, 16	III-2
137	IV-1	Гары Ульюм	Шлиховой ореол	10	104
		Золото, свинец, цинк			
89	II-4	Берховья р. Бол. Джелтулака	Кварцевые, кварц-ка-бонатные жилы	1, 7, 8, 18	106
93	II-4	Берховья р. Бол. Джелтулака	То же	1, 7, 8, 18	107
44	II-3	То же	Контакто-метасоматические породы с сульфидами	1, 7, 8, 18	108
71	II-4	Берховья р. Бол.	То же	“	109
49	II-3	Джелтулака Верховья р. 1-го Джелтулака	Кварцево-карбонатные, кварцевые жилы	1, 7, 8, 18	1-1
51	II-3	То же	То же	1, 7, 8, 18	82
53	II-3	” ”	” ”	1, 7, 8, 18	II-4
55	II-3	” ”	” ”	1, 7, 8, 18	98

Продолжение прил. 4

№ по карте	Индекс клетки на карте	Название (местонахождение) проявления и вид полезного ископаемого	Характеристика проявления	Номер используемого материала по списку	
				№ по карте	Индекс клетки на карте
62	II-3	Верховья р. 1-го Джелтулака	Кварцево-карбонатные, кварцевые жилы	1, 7, 8, 18	1, 7, 8, 18
63	II-3	То же	То же	1, 7, 8, 18	1, 7, 8, 18
66	II-3	” ”	” ”	1, 7, 8, 18	1, 7, 8, 18
110	III-3	” ”	” ”	1, 7, 8, 18	1, 7, 8, 18
48	II-3	” ”	Контактово-метасоматические породы с сульфидами	1, 7, 8, 18	1, 7, 8, 18
86	II-4	Верховья р. 2-го Джелтулака	Кварцевые, кварци-каранитовые жилы	1, 7, 8, 18	1, 7, 8, 18
88	II-4	То же	То же	1, 7, 8, 18	1, 7, 8, 18
90	II-4	” ”	” ”	8, 13	8, 13
102	III-2	Истоки ключа Веселого	Кварц-карбонатные жилы с турмалином	10	10
38	II-2	Ключ Весенний — приток р. Гары	Протолочка жильного кварца (As, Hg, Bi, Sn) Шлиховой ореол (Au, Hg)	10	10
		Олово			
101	III-2	Истоки ключа Веселого	Брекчированные, окварцованные граниты	10	10
104	III-2	То же	То же	10	10
106	III-2	” ”	” ”	10	10
107	III-2	” ”	” ”	10	10
108	III-2	” ”	” ”	10	10
10	I-1	Бассейн р. Гары	Шлиховой ореол	5, 10, 14	5, 10, 14
82	II-4	Верховья р. Бол. Джелтулака	Спектромегалометрический ореол в донных осадках	1	1
40	II-3	Ключ Меньшиковский (приток р. Бол. Калахты)	То же	5	5
98	III-2	Ключ Меньшиковский (приток р. Улгучи)	” ”	6	6
22	I-4	Олово, вольфрам (приток р. Ельны)	Шлиховой ореол	6	6

Продолжение прилож. 4

№ по карте	Индекс клетки на карте	Название (местонахождение) проявления и вид полезного ископаемого	Характеристика проявления	Номер исполь- зованного материала по списку	
				Номер по карте	Индекс клетки на карте
Вольфрам					
100	III-2	Истоки ключа Веселого	Шлиховой ореол	10	
70	II-4	Истоки р. Бол. Джел- тулака	То же	1	
19	I-3	Верховья рек Имакана, Макарака	" "	5	
18	I-3	Верховья рек Имакана, Макарака и др.	Спектрометаллометрический ореол в донных осадках	5	
80	II-4	Истоки р. Большой Джел- тулака	Быкрапленность сульфи-дов (Mo, Pb, Zn)	1	
81	III-4	То же	То же	34	
103	III-2	Истоки ключа Веселого	Окварцованные грани-ты (Mo, Bi, Sn, W)	10	
Бериллий					
105	III-2	Истоки ключа Веселого	Спектрометаллометрический ореол в деловни	10	
Ртуть					
68	II-3	Верховья р. 1-го Джел- тулака	Знаки киновари в шлихах из деловни и в про-толопке	1	
109	III-3	То же	То же	1	
65	II-3	Бассейн р. 1-го Джел- тулака	Шлиховой ореол	1, 6	
17	I-3	р. Жимтулак	Спектрометаллометрический ореол в донных осадках	5	
2	I-1	р. М. Калахта	Шлиховой ореол	5	
1	I-1	Ключ Ноговицкий	Спектрометаллометрический ореол в донных осадках	5	
4	I-1	Ключ Ясный	Шлиховой ореол	5, 13	
87	II-4	Левобережье р. 2-го Джелтулака	Шлиховой ореол в де-люни	1	

Продолжение прилож. 4

№ по карте	Индекс клетки на карте	Название (местонахождение) проявления и вид полезного ископаемого	Характеристика проявления	Номер исполь- зованного материала по списку	
				Номер по карте	Индекс клетки на карте
Флюорит					
69	II-3	Истоки р. 1-го Джел- тулака	Гнезда и линзы	1	
Абест хризотиловый					
95	III-1	Истоки р. Аяка	Три жилы в серпентинах	16	
29	II-1	Правобережье р. 2-ой Гари	Сеть прожилков в серпентинах	13	
Тальк					
29	II-1	Левобережье р. 2-ой Гари	Залежь талькита в серпентинах	16	
29	II-1	Правобережье 2-ой Гари	Сеть прожилков в серпентинах	13	
32	II-1	То же	То же	13	
Немагалические ископаемые					
Флюорит					
69	II-3	Истоки р. 1-го Джел- тулака	Гнезда и линзы	1	
Абест хризотиловый					
95	III-1	Истоки р. Аяка	Три жилы в серпентинах	16	
29	II-1	Правобережье р. 2-ой Гари	Сеть прожилков в серпентинах	13	
Тальк					
29	II-1	Левобережье р. 2-ой Гари	Залежь талькита в серпентинах	16	
29	II-1	Правобережье 2-ой Гари	Сеть прожилков в серпентинах	13	
32	II-1	То же	То же	13	
Флюорит					
69	II-3	Истоки р. 1-го Джел- тулака	Гнезда и линзы	1	
Абест хризотиловый					
95	III-1	Истоки р. Аяка	Три жилы в серпентинах	16	
29	II-1	Правобережье р. 2-ой Гари	Сеть прожилков в серпентинах	13	
29	II-1	То же	То же	13	
Тальк					
29	II-1	Левобережье р. 2-ой Гари	Залежь талькита в серпентинах	16	
29	II-1	Правобережье 2-ой Гари	Сеть прожилков в серпентинах	13	
32	II-1	То же	То же	13	
Флюорит					
69	II-3	Истоки р. 1-го Джел- тулака	Гнезда и линзы	1	
Абест хризотиловый					
95	III-1	Истоки р. Аяка	Три жилы в серпентинах	16	
29	II-1	Правобережье р. 2-ой Гари	Сеть прожилков в серпентинах	13	
29	II-1	То же	То же	13	
Тальк					
29	II-1	Левобережье р. 2-ой Гари	Залежь талькита в серпентинах	16	
29	II-1	Правобережье 2-ой Гари	Сеть прожилков в серпентинах	13	
32	II-1	То же	То же	13	